

# Rendu volumique

Nicolas Holzschuch

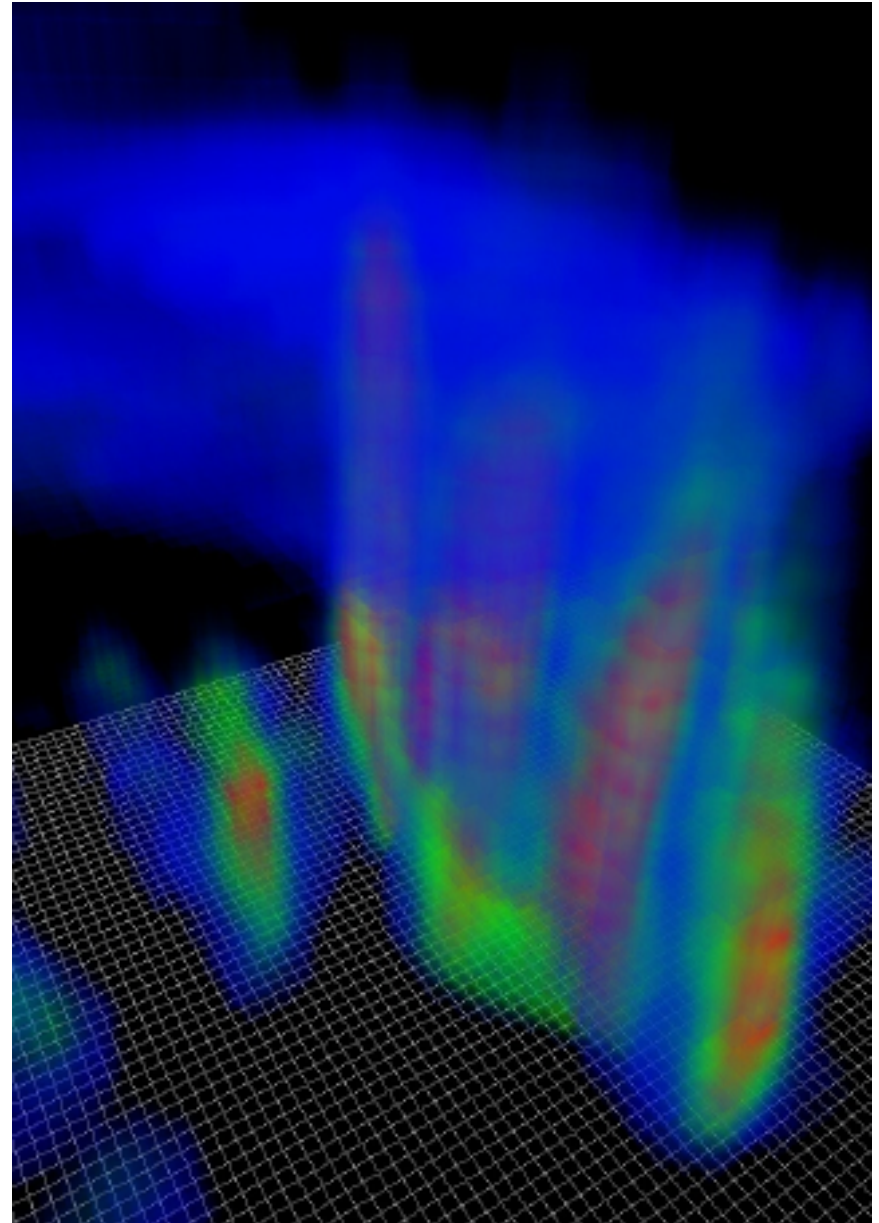
*i*MAGIS/GRAVIR IMAG

Nicolas.Holzschuch@imag.fr

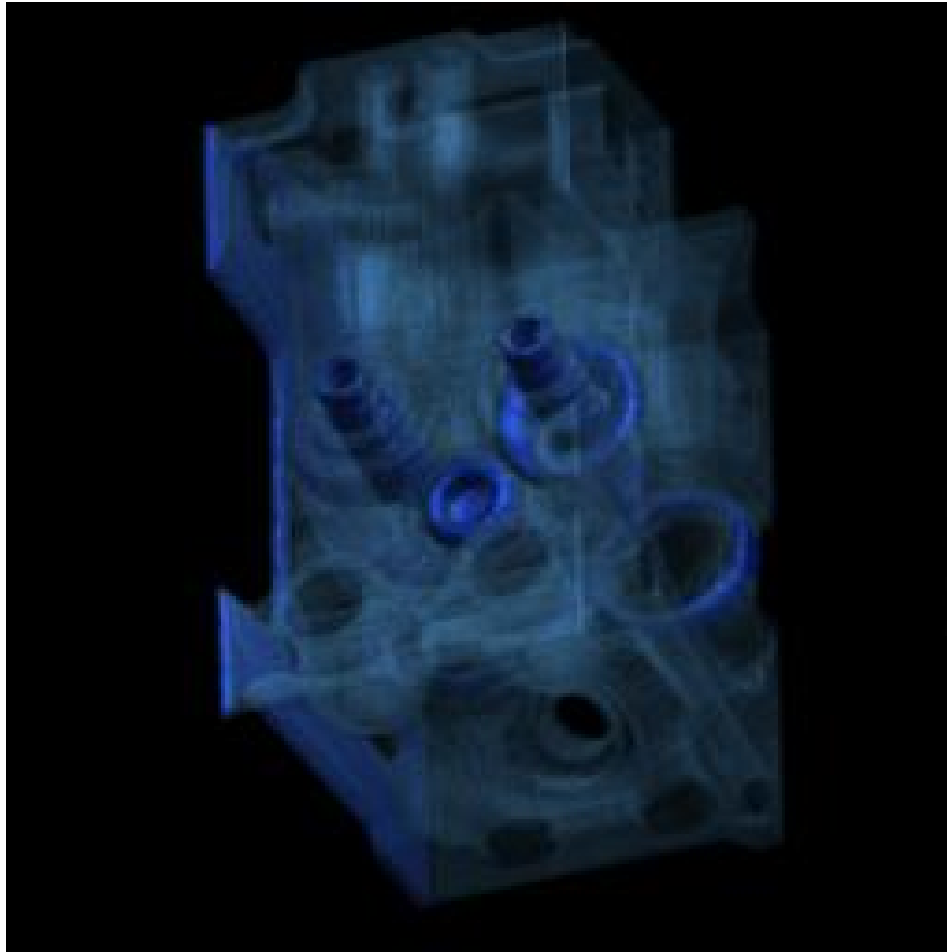
# Rendu volumique

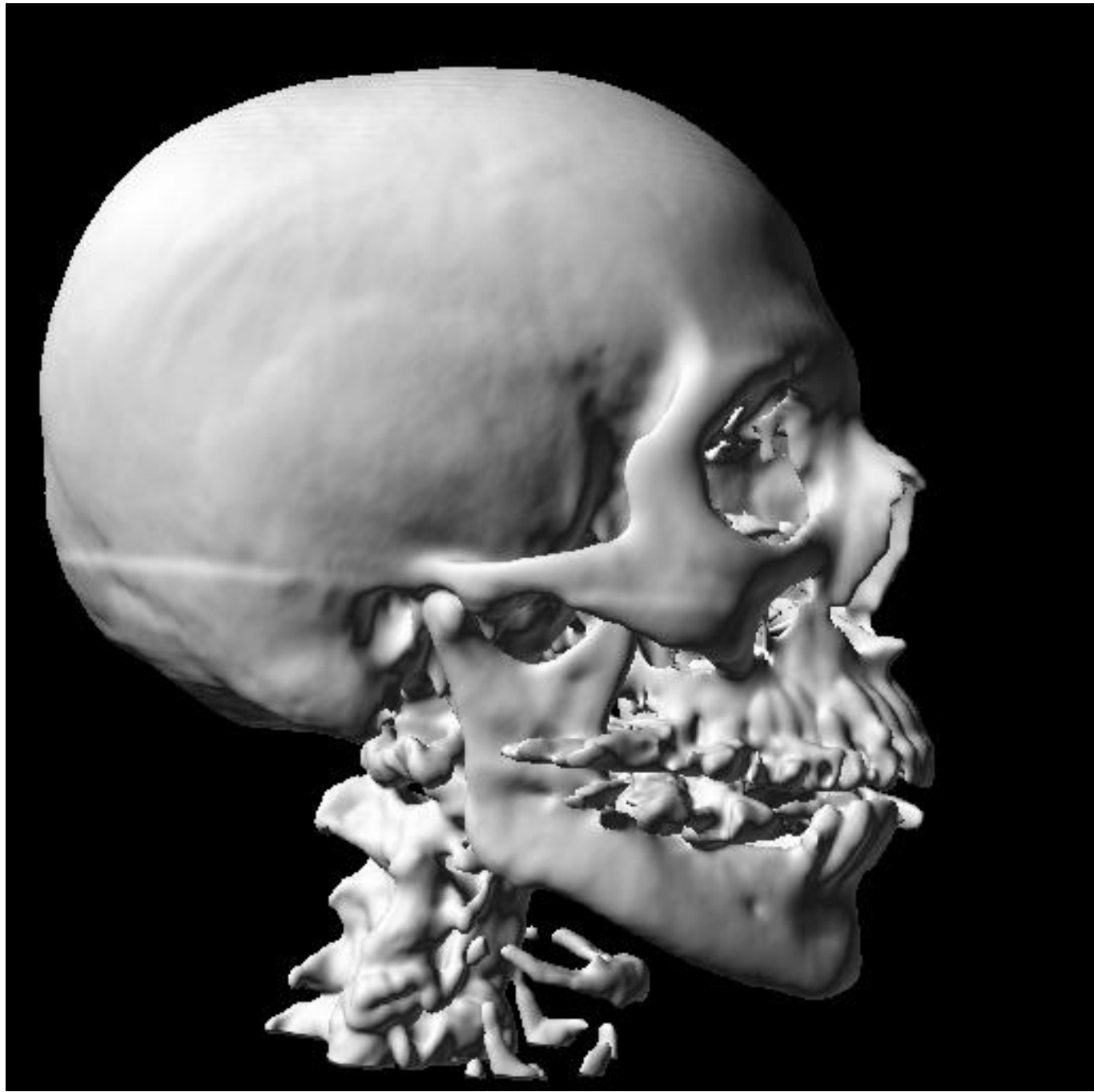
- Pourquoi faire ?
  - Parce qu'on a des données volumiques...
    - Simulations numériques
    - Scanners, données médicales
  - Visualiser et comprendre
- Qu'est-ce qu'on visualise ?
  - Ce qu'il faut pour comprendre
- *Comment* faire ?

# Examples

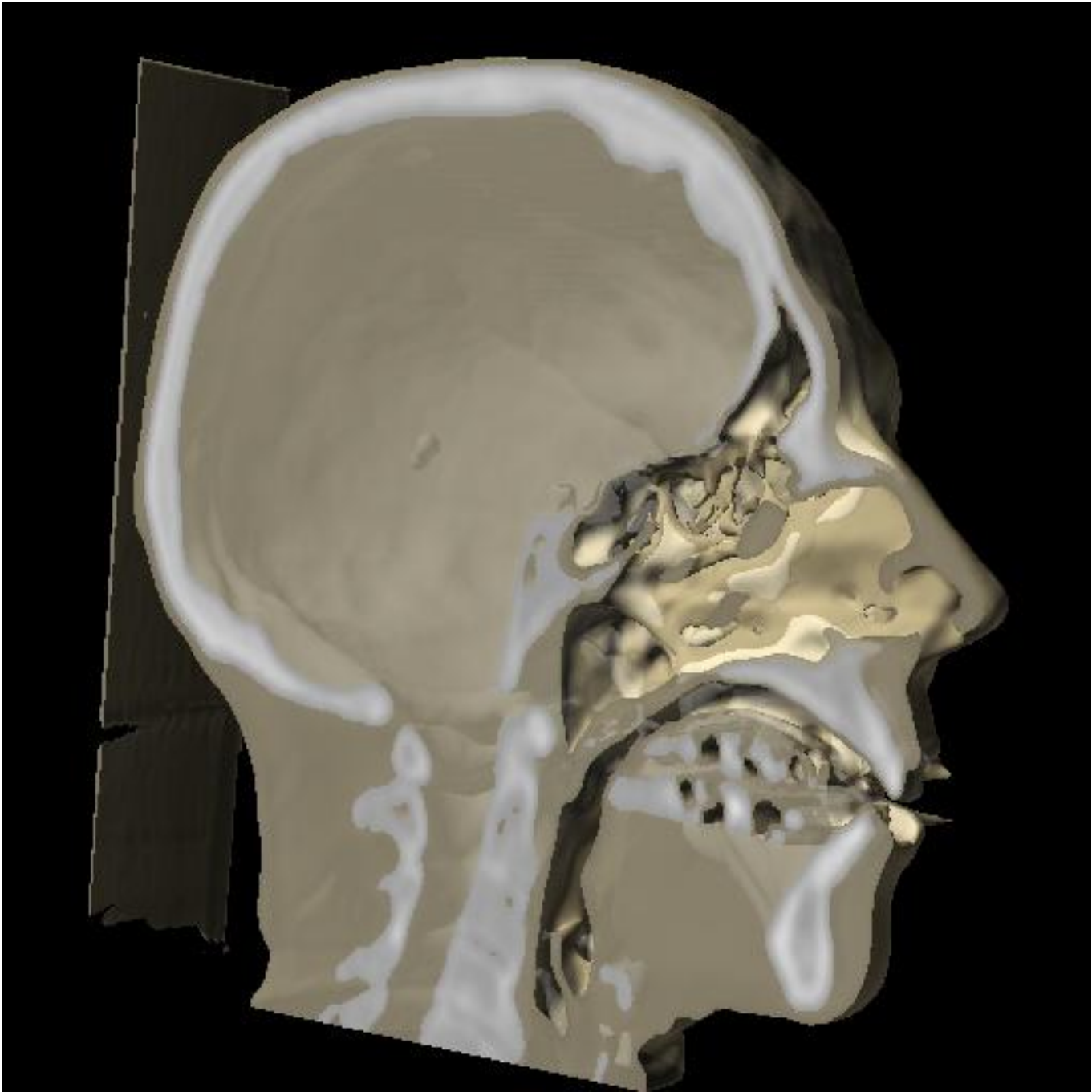


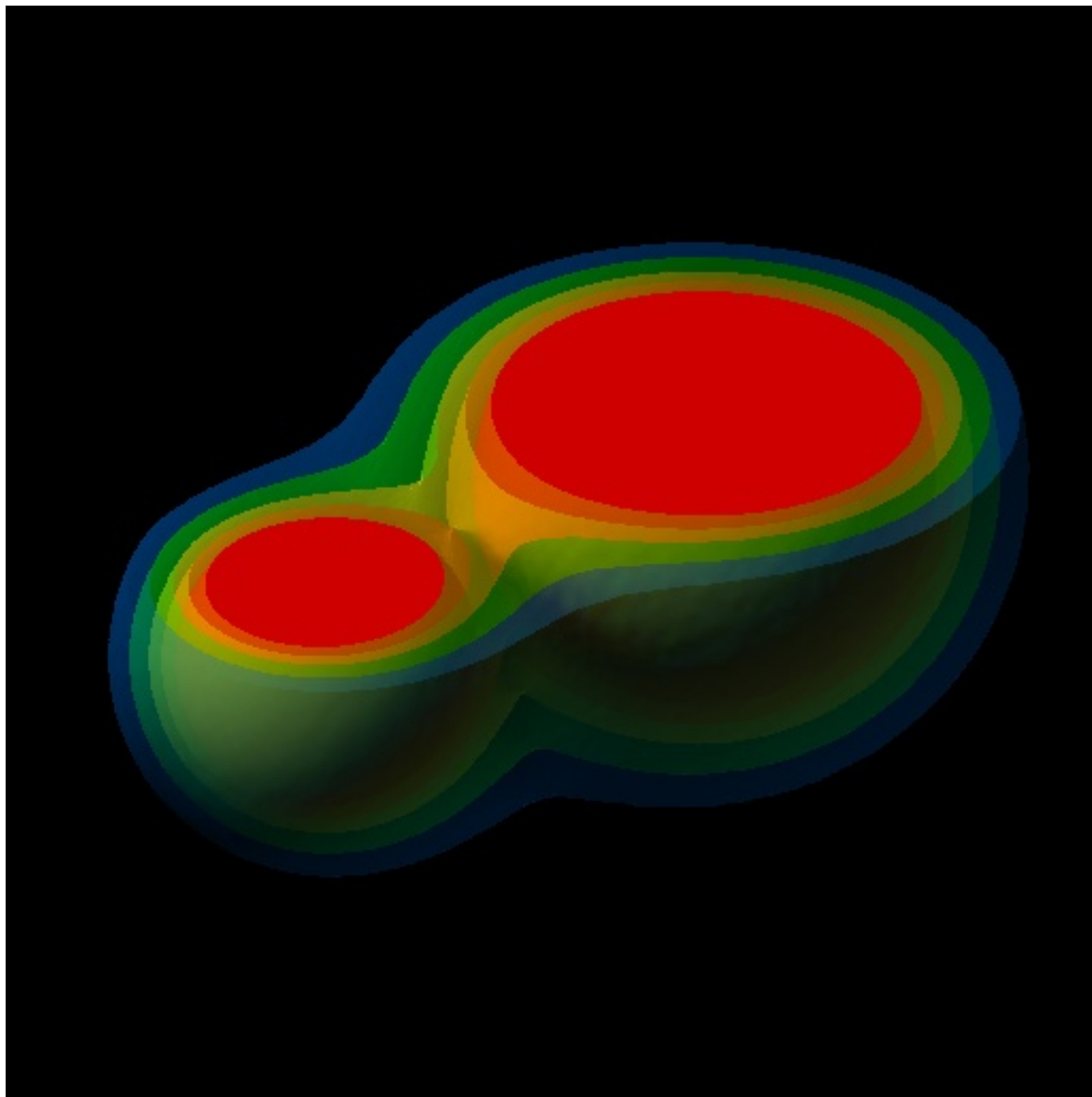
# Examples











# Plan

- Le traitement des données
- Les techniques standard, vue générale
  - Surfaces, pixels, volumes
- Les techniques standard, détails
  - Surfaces, pixels, volumes
- Utilisation du hardware
- Et le réalisme ?

# Données de départ

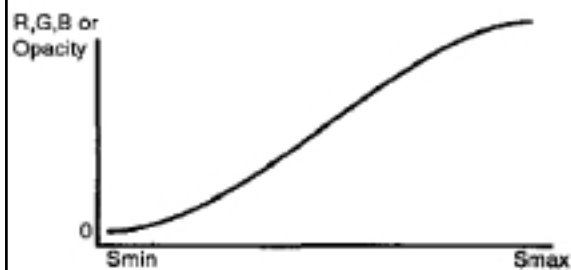
- Données volumiques
  - Champ volumique  $f(x,y,z)$ , voire  $f(x,y,z,t)$
  - Densité, température, concentration,...
- Échantillonnage
  - Régulier ou irrégulier
  - Éventuellement insuffisant
    - Objets échantillonnés ? Hautes fréquences ?
    - Limite de Nyquist

# Techniques générales

- Beaucoup d'information
  - Trop ?
- Éliminer certaines informations :
  - Cacher, masquer,
  - Rendre transparent,
  - Couper...
- Perception des surfaces :
  - Ombrage

# Traitement des données

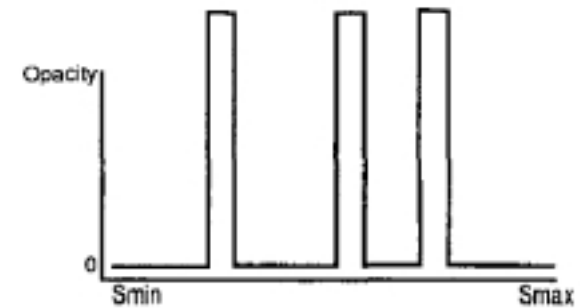
- Affichage : RGB + opacité
- Fonctions de transfert :
  - Permettent de souligner les détails, au choix



A



B



# Interpolation des échantillons

- Interpolation linéaire entre les échantillons
  - Linéaire par axe, tri-linéaire au total :

$$S(x, y, z) = a_1 + a_2x + a_3y + a_4z + a_5xy + a_6xz + a_7yz + a_8xyz$$

- Calcul des coefficients :  $[x_{ij}][a_j] = [S_i]$
- Par rapport à la distance à l'œil :  $S$  est cubique

# Techniques générales

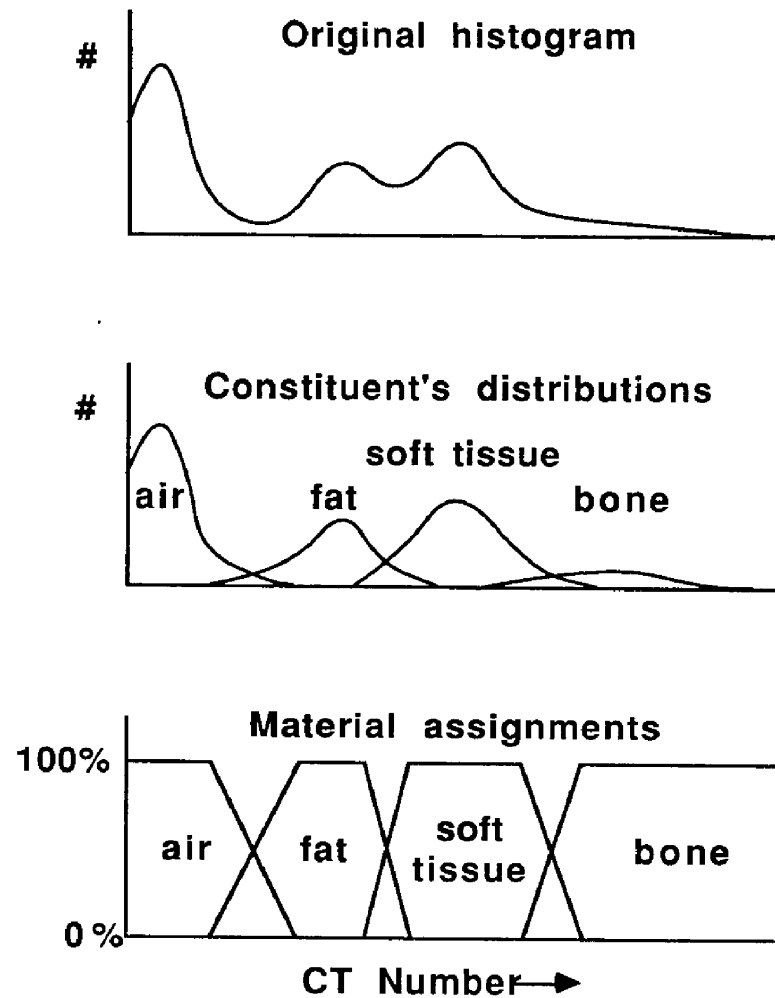


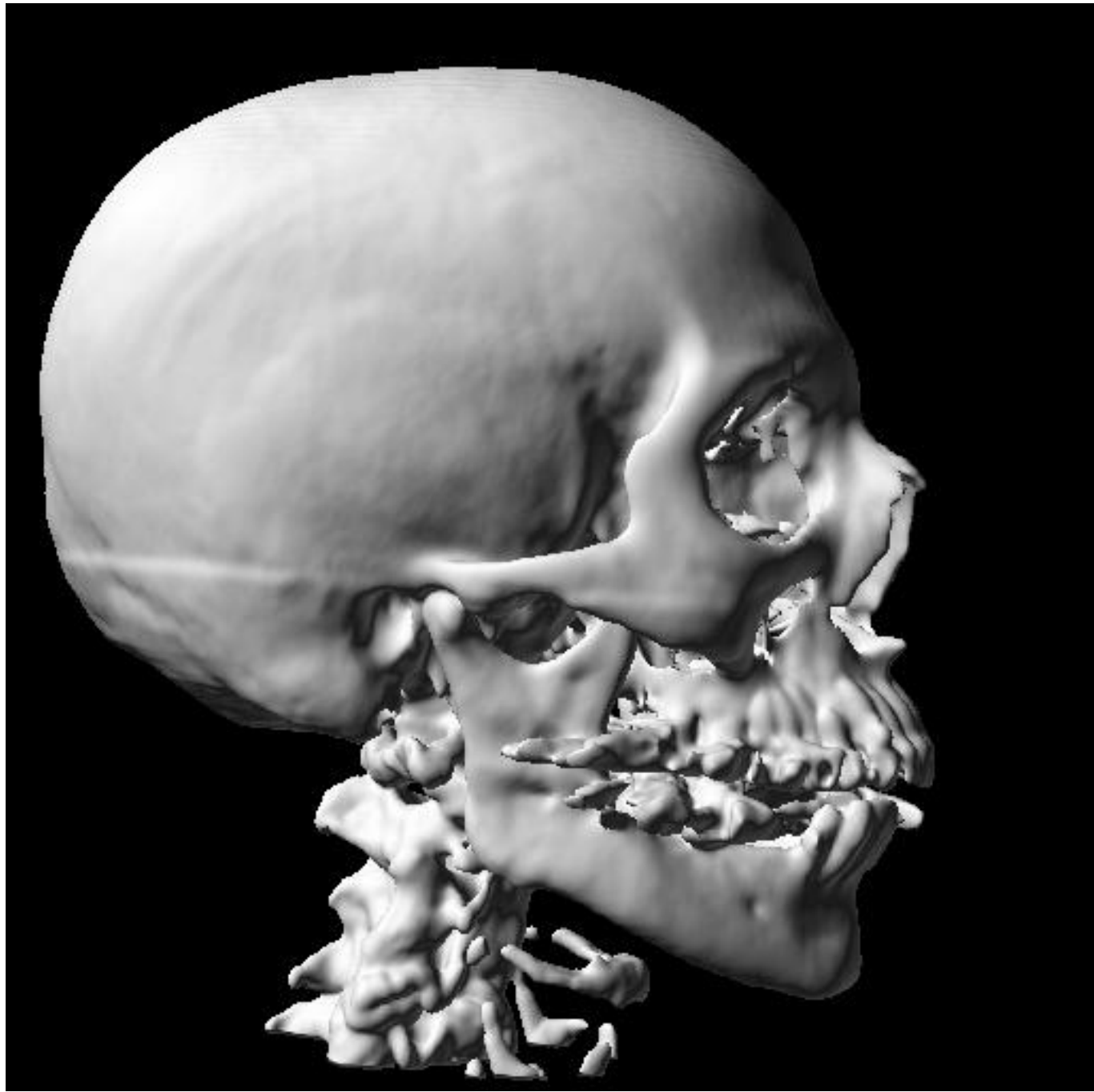
Figure 2. CT Classification

# Techniques de visualisation

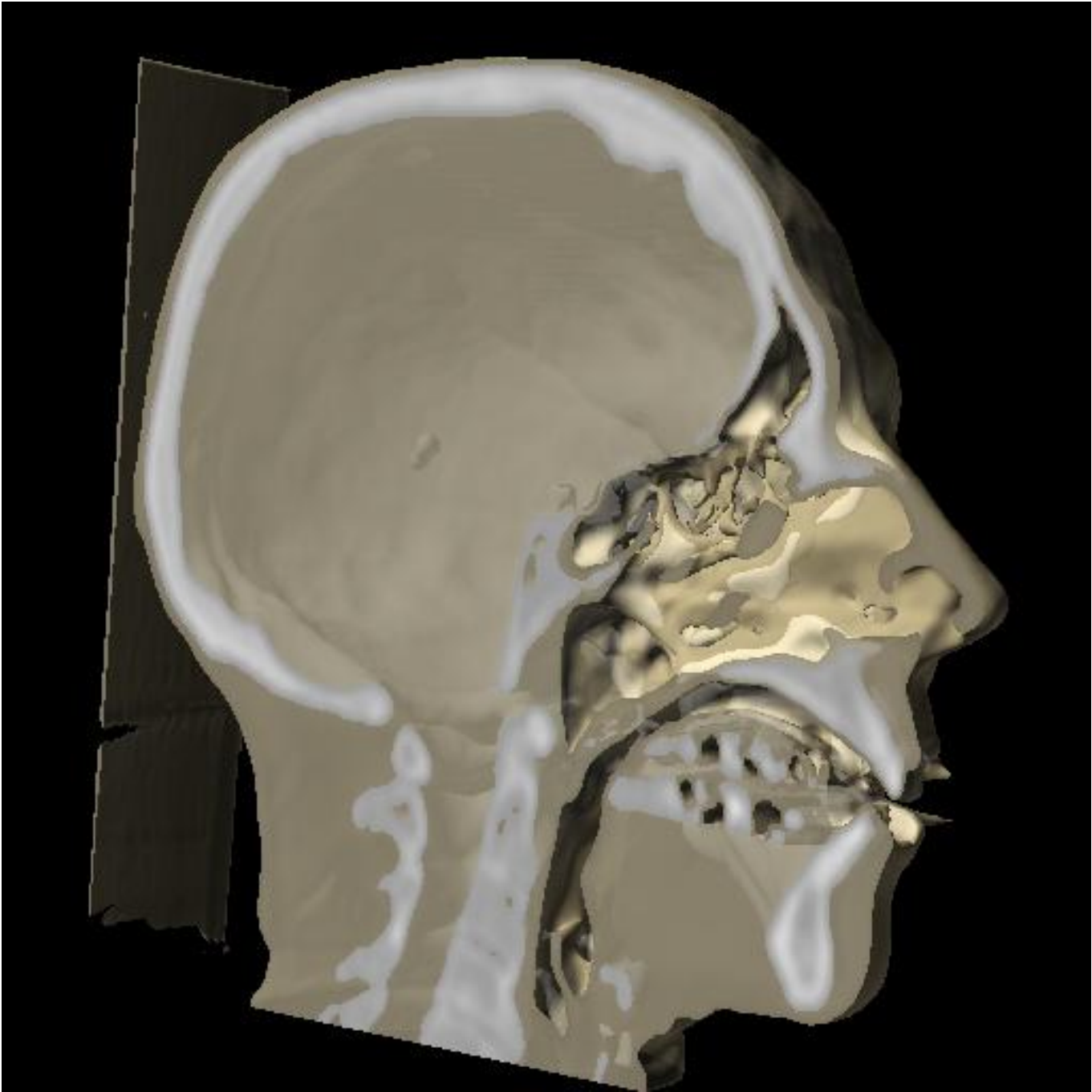
- Par surfaces
- Par pixels
- Par volume

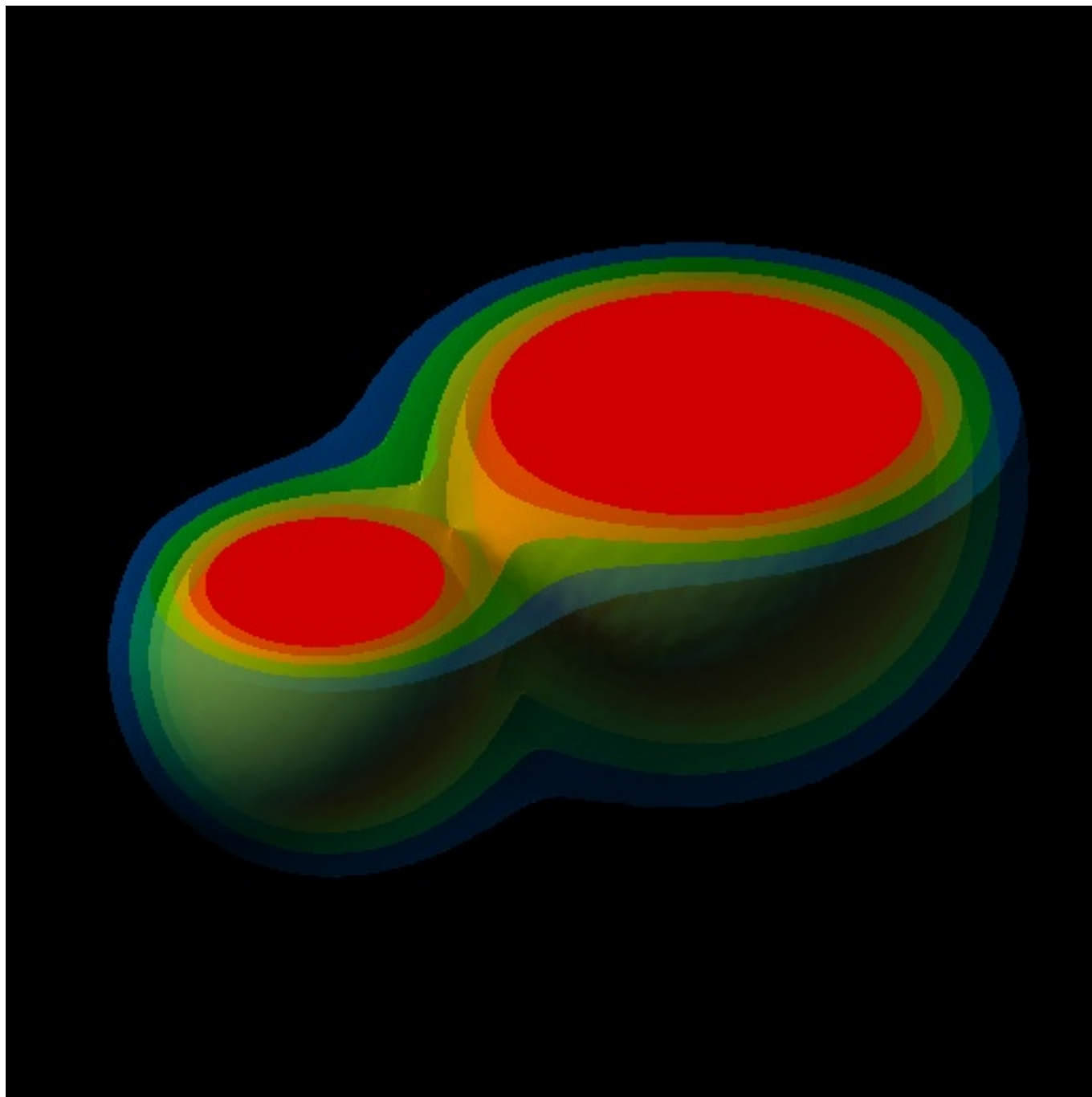
# Techniques de visualisation

- Par surfaces :
  - Extraire les surfaces iso-potentielles
    - Marching-cube, octree...
  - Visualisation standard :
    - Z-buffer, ombrage, transparence...
  - Pré-traitement (un peu) long
- Par pixels
- Par volume



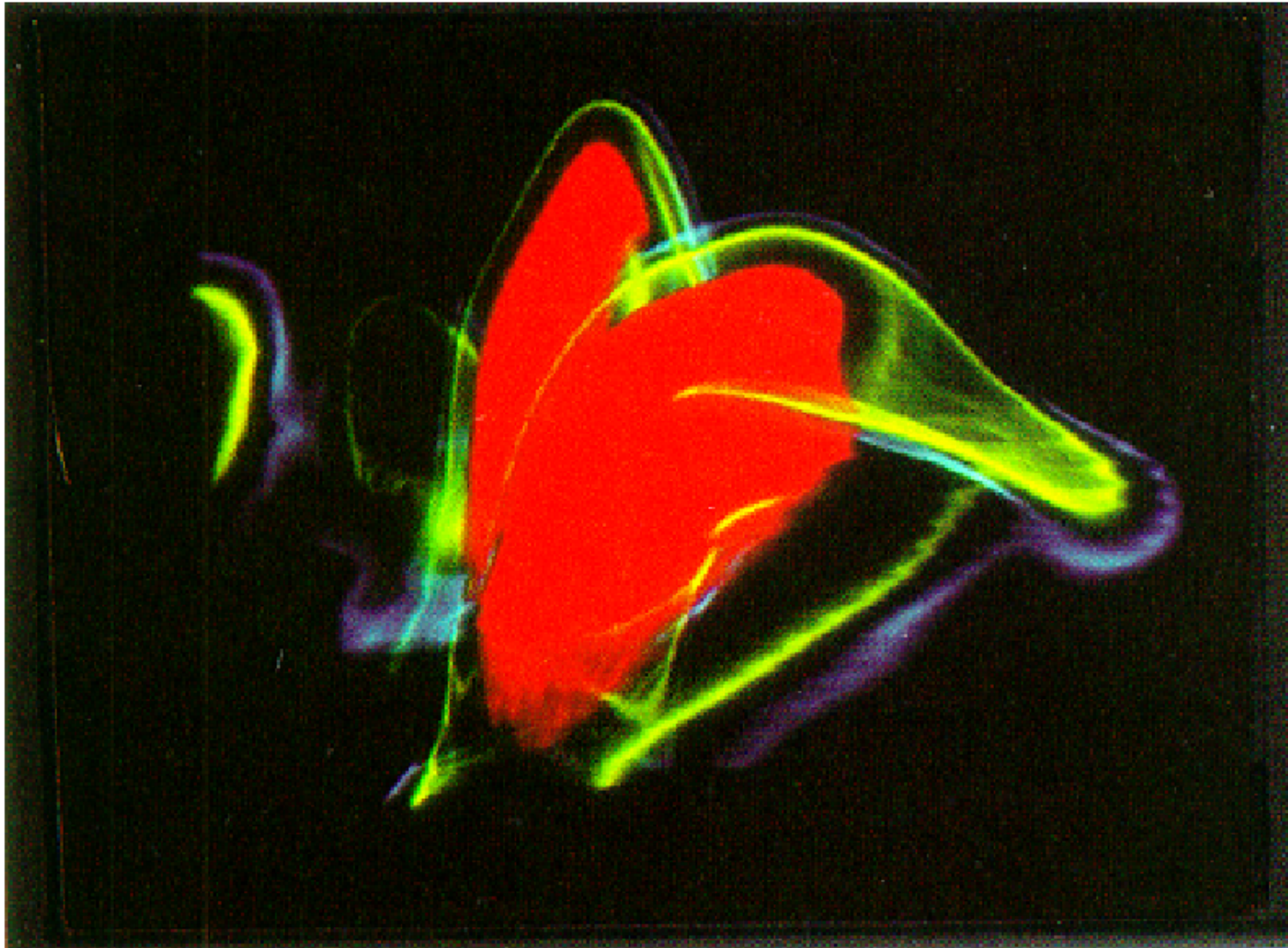






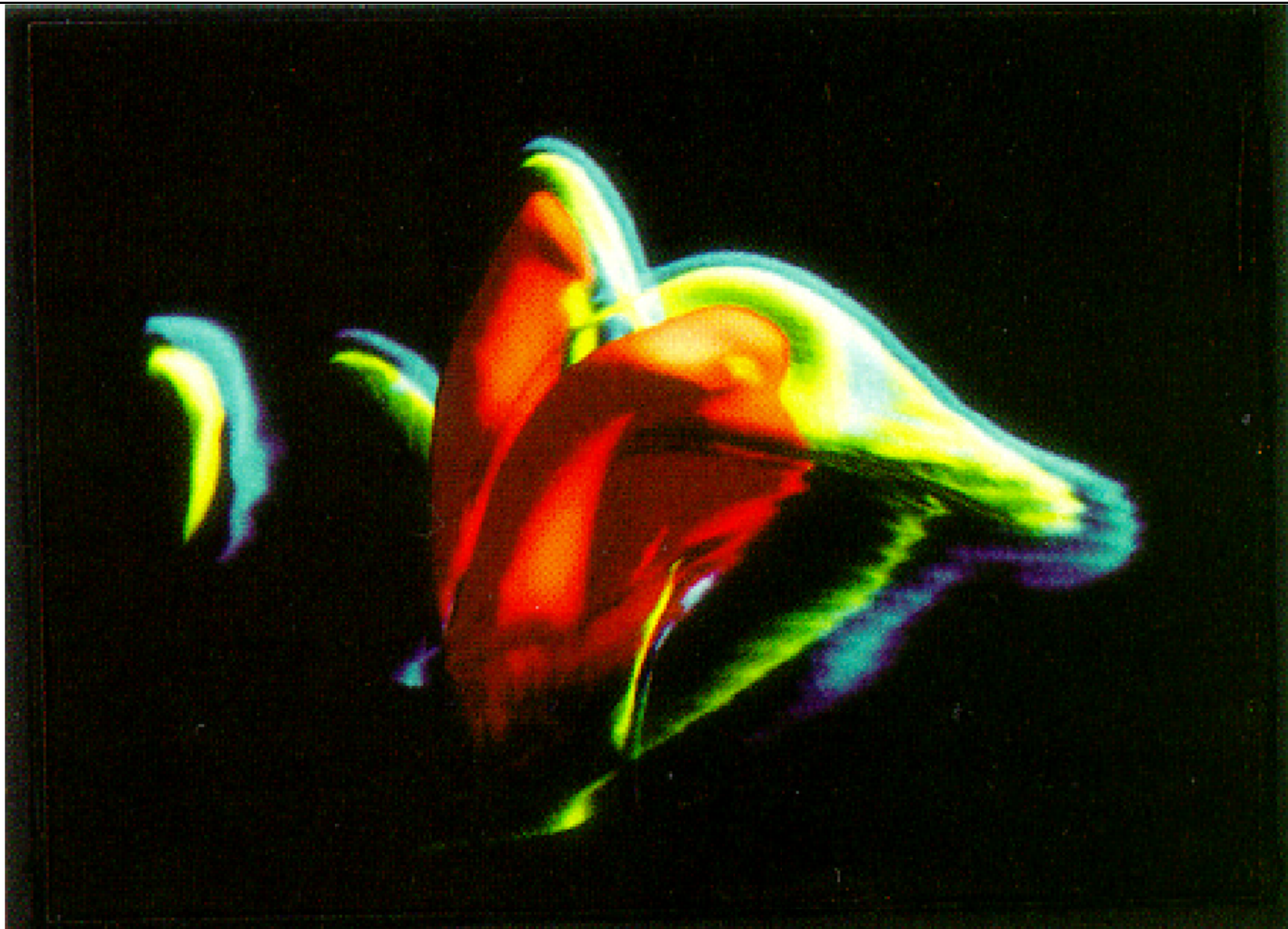
# Techniques de visualisation

- Par surfaces
- Par pixels :
  - Lancer de rayon
  - Partie du volume de données intersectée par le rayon
  - Intégration/maximum/autres...
- Par volume



**Figure 7. Rain water content of a severe storm simulation. (Data courtesy of Robert Wilhelmson, NCSA).**

© Craig Upson, 1988

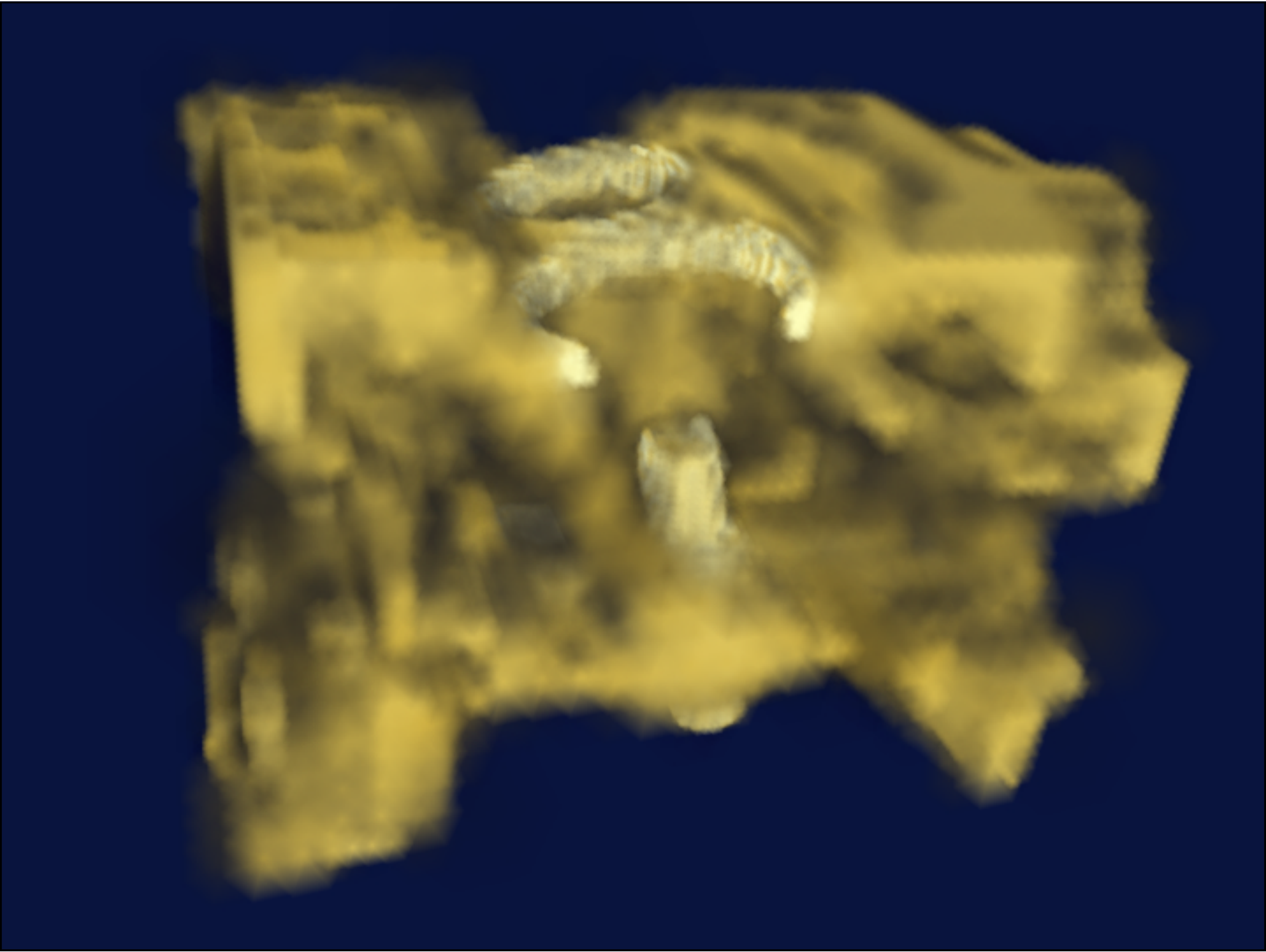


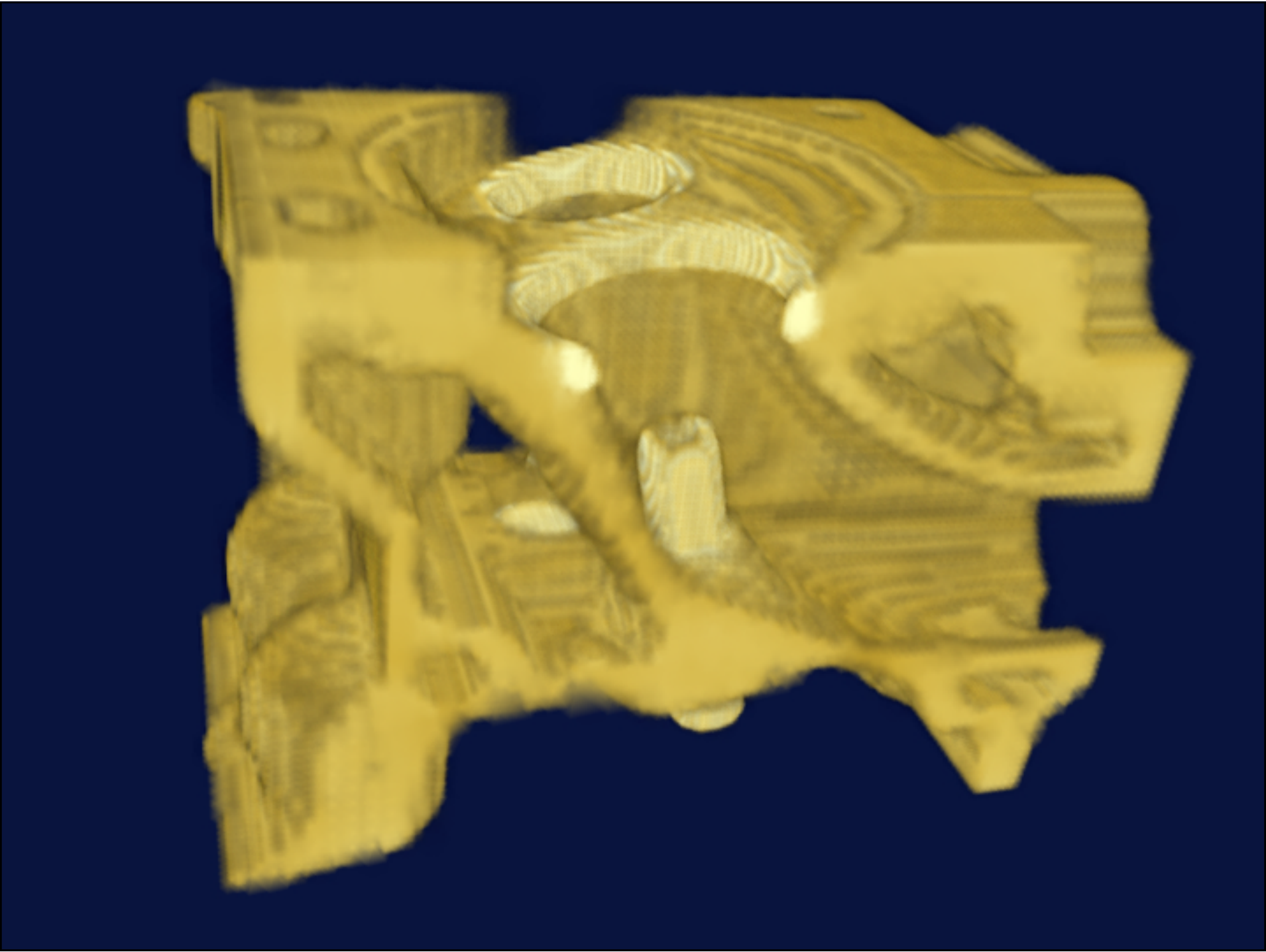
© Craig Upson, 1988

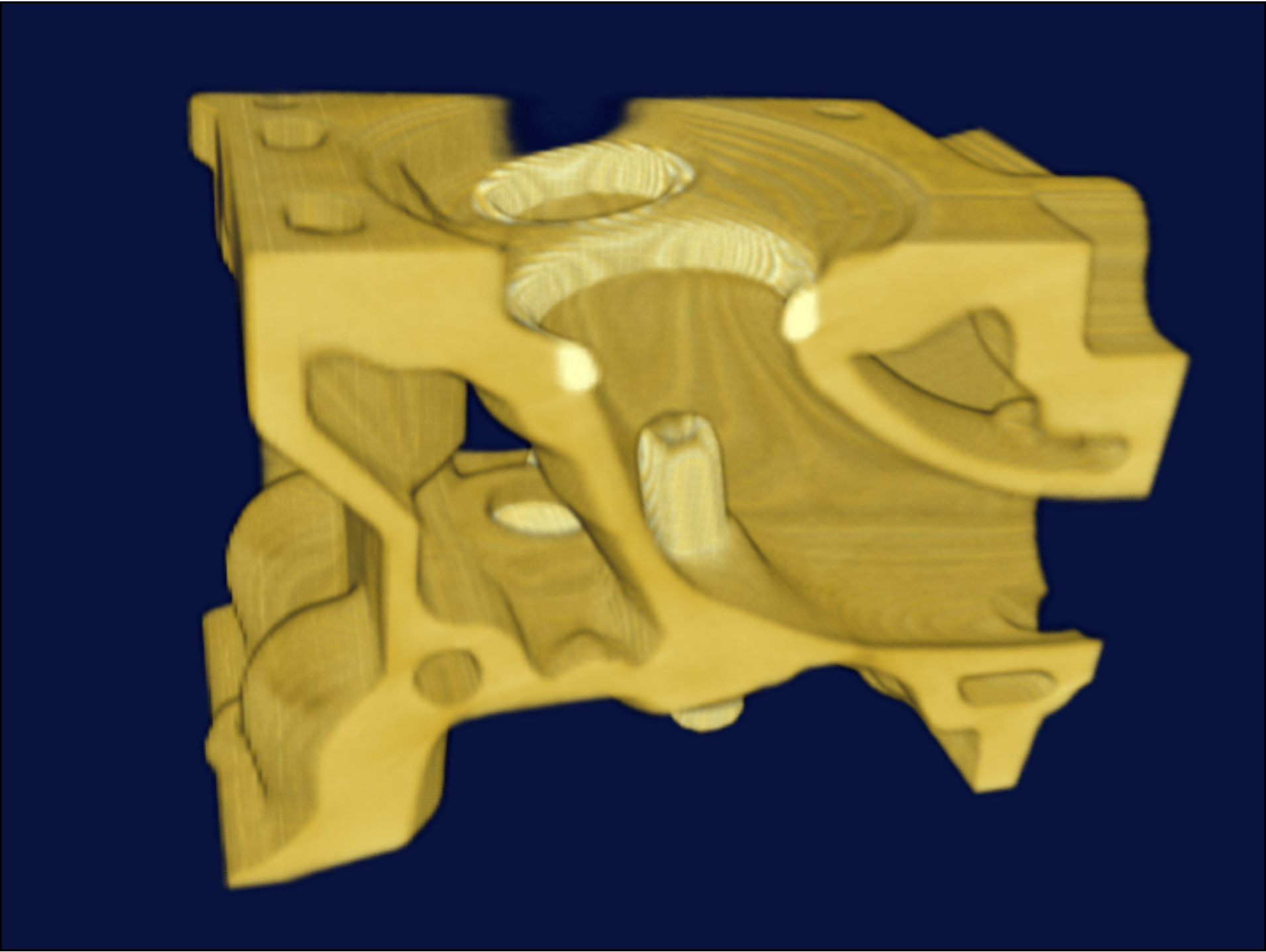
**Figure 8. Rain water image with illumination from a single light source.**

# Techniques de visualisation

- Par surfaces
- Par pixel
- Par volume :
  - Projection des cellules du volume
    - Interpolation dans la projection
  - Intégration directe :
    - Valeur à un pixel = intégrale pour chaque échantillon
    - Projection orthographique :
      - Noyau indépendant de la position
    - Afficher la projection du noyau







Et maintenant, les détails

# Extractions de surfaces

- Marching cubes (Lorensen, 1987)
  - Extraction de l'iso-surface et des normales
  - Échantillons ponctuels, organisés en cubes

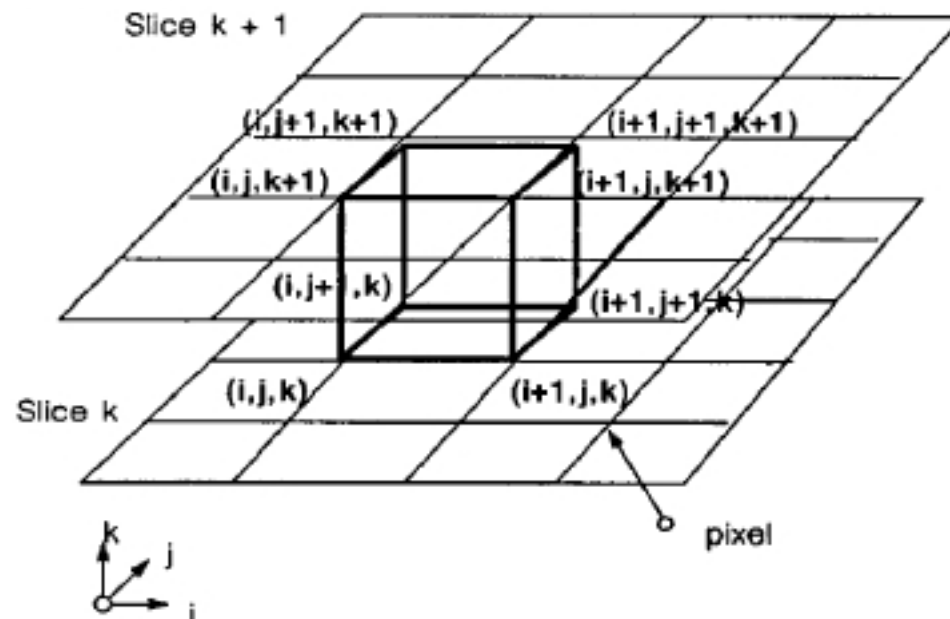
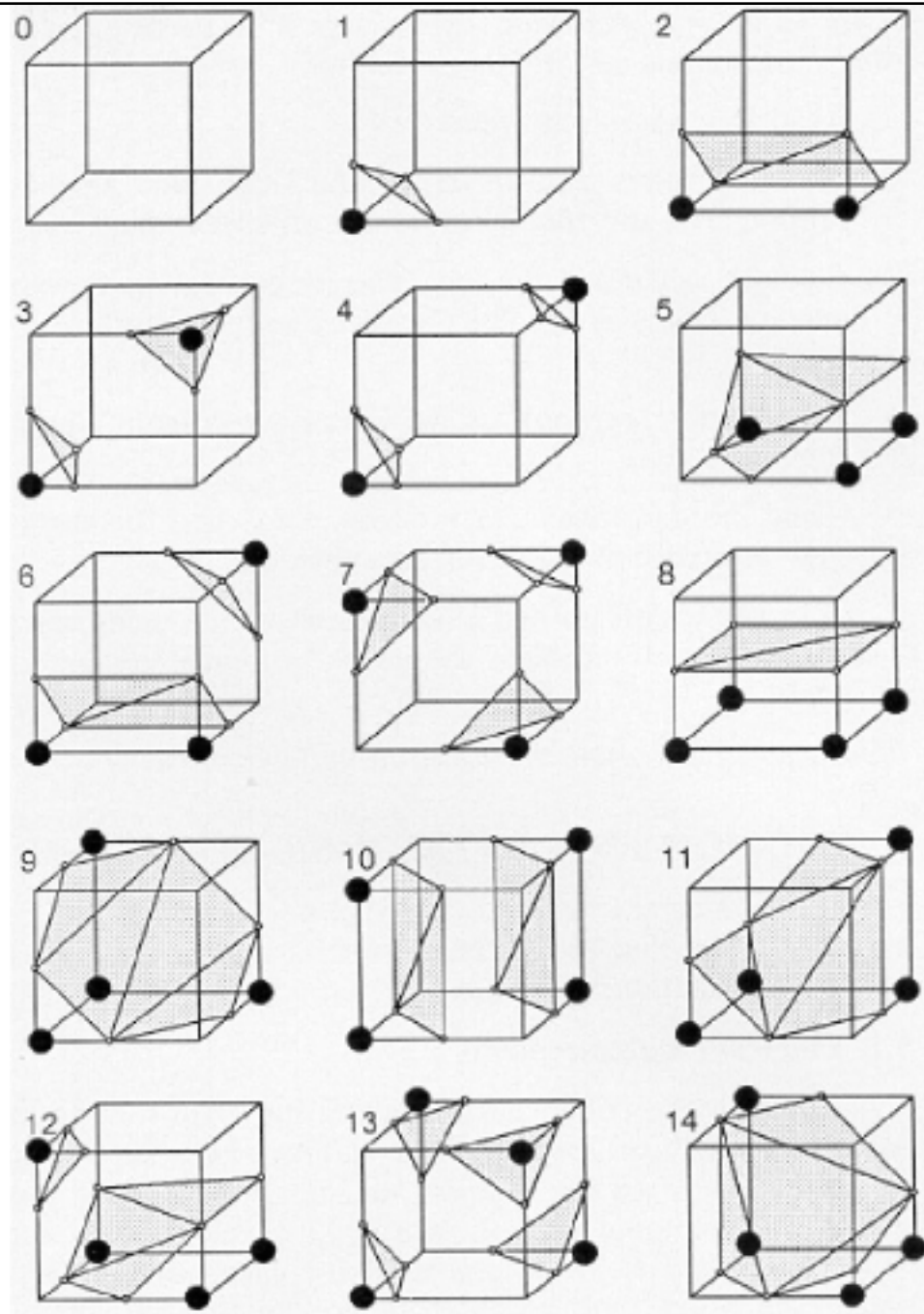


Figure 2. Marching Cube.

# Marching cubes

- Sélection des cubes qui intersectent l'iso-surface :
  - Au moins un sommet dedans, au moins un sommet dehors
- Classification des cubes :
  - 8 sommets, 2 états (dedans, dehors) = 256 possibilités
  - Symétrie des 2 états : 128 possibilités
  - Symétries par rotation : 14 possibilités
  - Pour chaque possibilité, une seule triangulation possible
  - De 1 à 4 triangles par cube



**Figure 3. Triangulated Cubes.**

# Marching cubes

- Indexation des cubes :
  - 8 bits par cube
  - Table donnant les arêtes intersectées
- Interpolation linéaire sur les arêtes pour calculer les points d'intersection

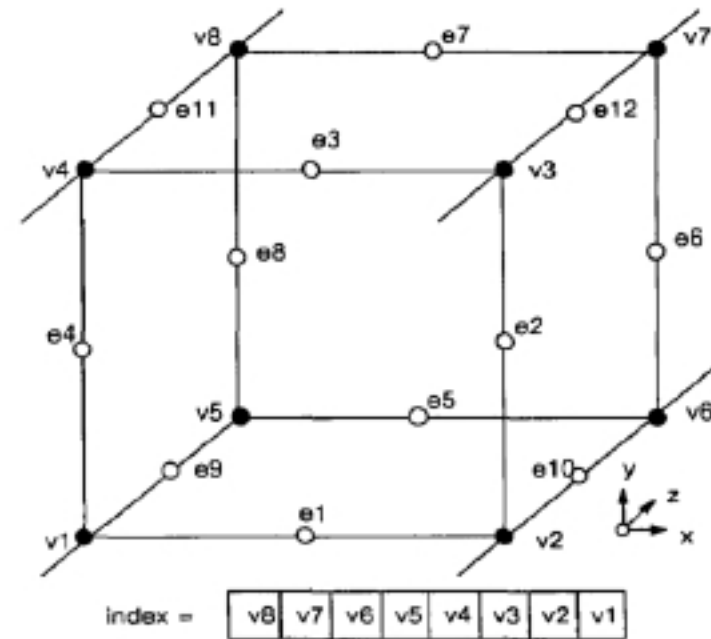


Figure 4. Cube Numbering.

# Calcul des normales

- Les normales sont calculées indépendamment
  - Lisser la surface obtenue
  - Une normale par triangle
- Calcul :
  - Gradient de la fonction : normal à l'iso-surface
  - Calcul du gradient aux sommets du cube
  - Normalisation : normale aux sommets du cube
  - Interpolation linéaire : normales aux sommets des triangles
  - Interpolation linéaire : normales sur les triangles
- Besoin de 4 tranches en mémoire

# Gradient aux sommets du cube

- Estimation par différences centrales :

$$G_x(i, j, k) = \frac{D(i + 1, j, k) - D(i - 1, j, k)}{x}$$

$$G_y(i, j, k) = \frac{D(i, j + 1, k) - D(i, j - 1, k)}{y}$$

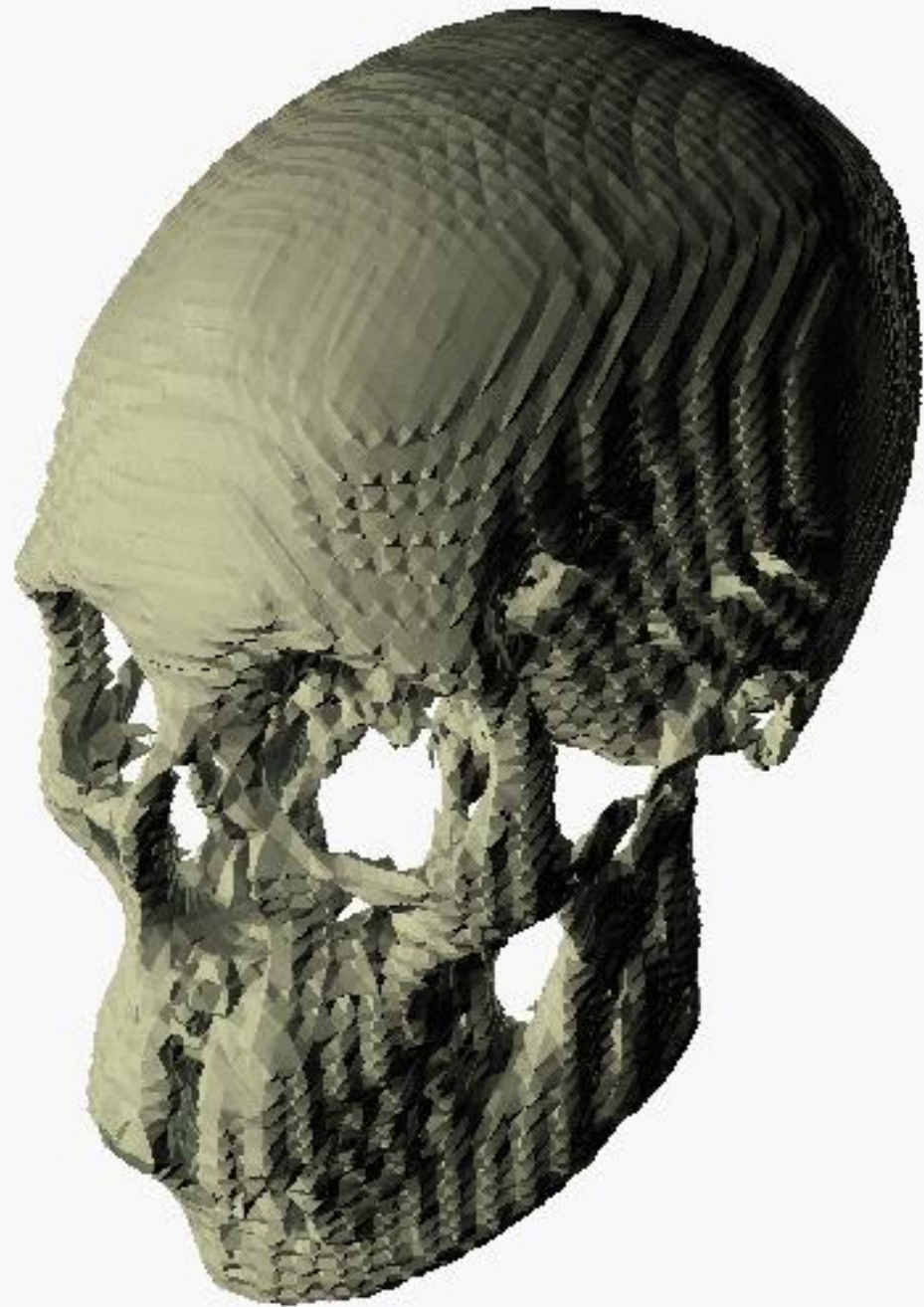
$$G_z(i, j, k) = \frac{D(i, j, k + 1) - D(i, j, k - 1)}{z}$$

# Marching-cubes : accélérations

- Cohérence du modèle :
  - On ré-utilise les calculs des cubes précédents
- Subdivision hiérarchique
  - Octrees
- Élimination de certaines ambiguïtés
  - Plus de cubes, moins d'erreurs

# Marching-cubes : problèmes

- Beaucoup de polygones :
  - Même ordre de grandeur que le nombre de voxels
  - Stockage, affichage...
    - Parfois plus cher de stocker les polygones que de stocker le volume !
- Gros problèmes liés à la précision
  - Sous-échantillonnage
  - Artefacts



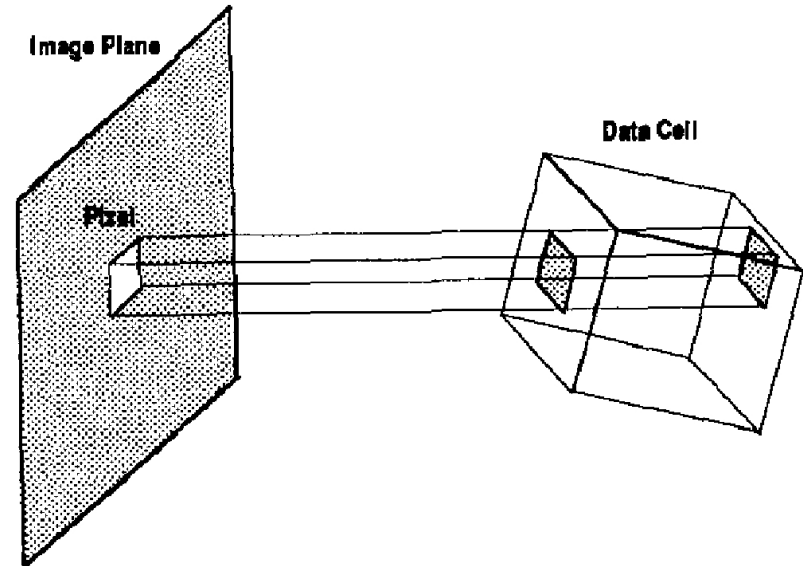
# Rendu à base de pixels

- Lancer de rayons simplifié
  - Sans rebonds
  - Modèle simplifié de la lumière

$$I = I_a K_a + K_d \left( \mathbf{n} \cdot \mathbf{L}_j \right) I_j$$

- Interpolation dans chaque cellule traversée
- Calcul de l'opacité et de l'intensité
- Arrêt quand opacité = 1

# Rendu à base de pixels



$$I = \int_{x y z} \left[ f(d) O(S) \left( K_a I_a + K_d \int I_i (\mathbf{n} \cdot \mathbf{L}_i) \right) + (1 - f(d)) b g \right] dx dy dz$$

# Rendu à base de pixels

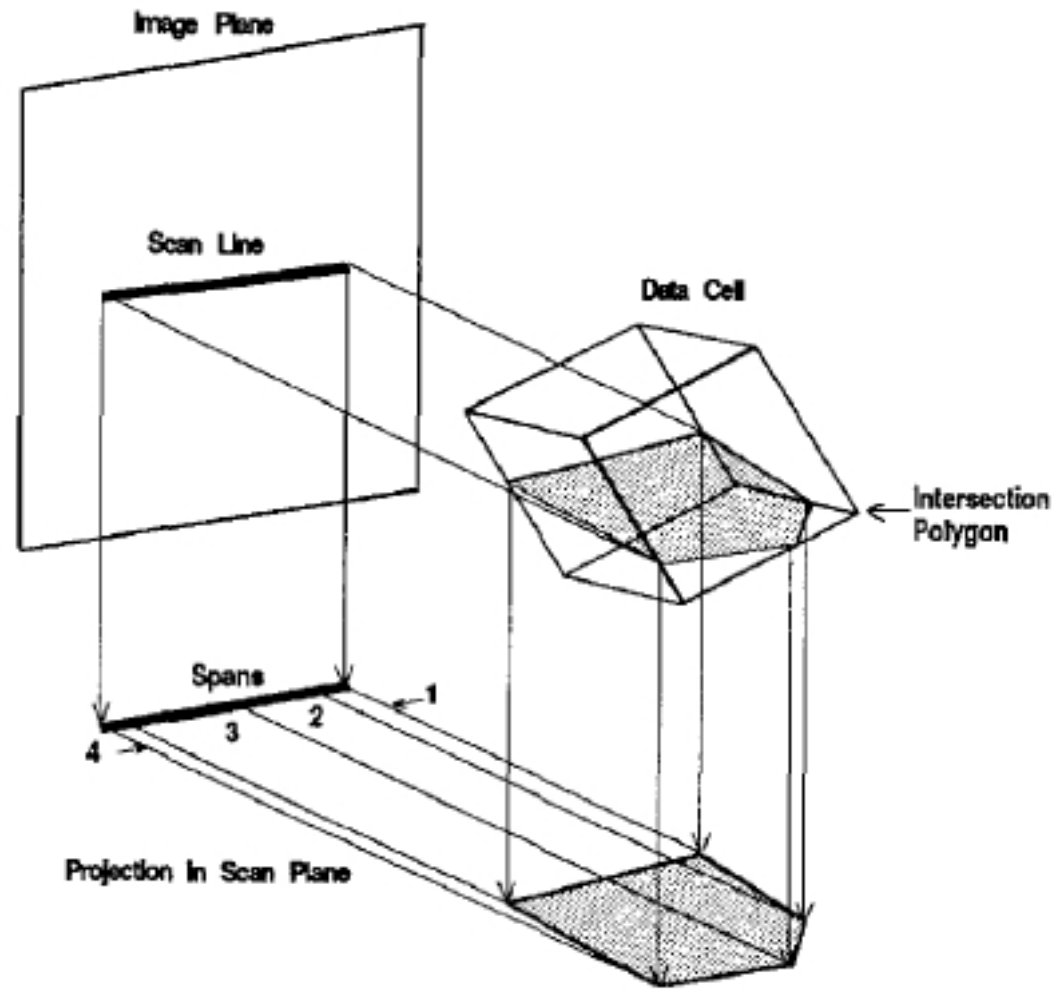
$$I = \int_{x y z} \left[ f(d) O(S) \left( K_a I_a + K_d \int_{L_i} (n \cdot L_i) \right) + (1 - f(d)) bg \right] dx dy dz$$

- $f$  : atténuation avec la distance
- $O$  : opacité. Dépend de  $S$  (le champ)
- $K_d$  : dépend de  $S$ .
- $n$  : normale ; définie par le gradient de  $S$
- $bg$  : couleur du fond

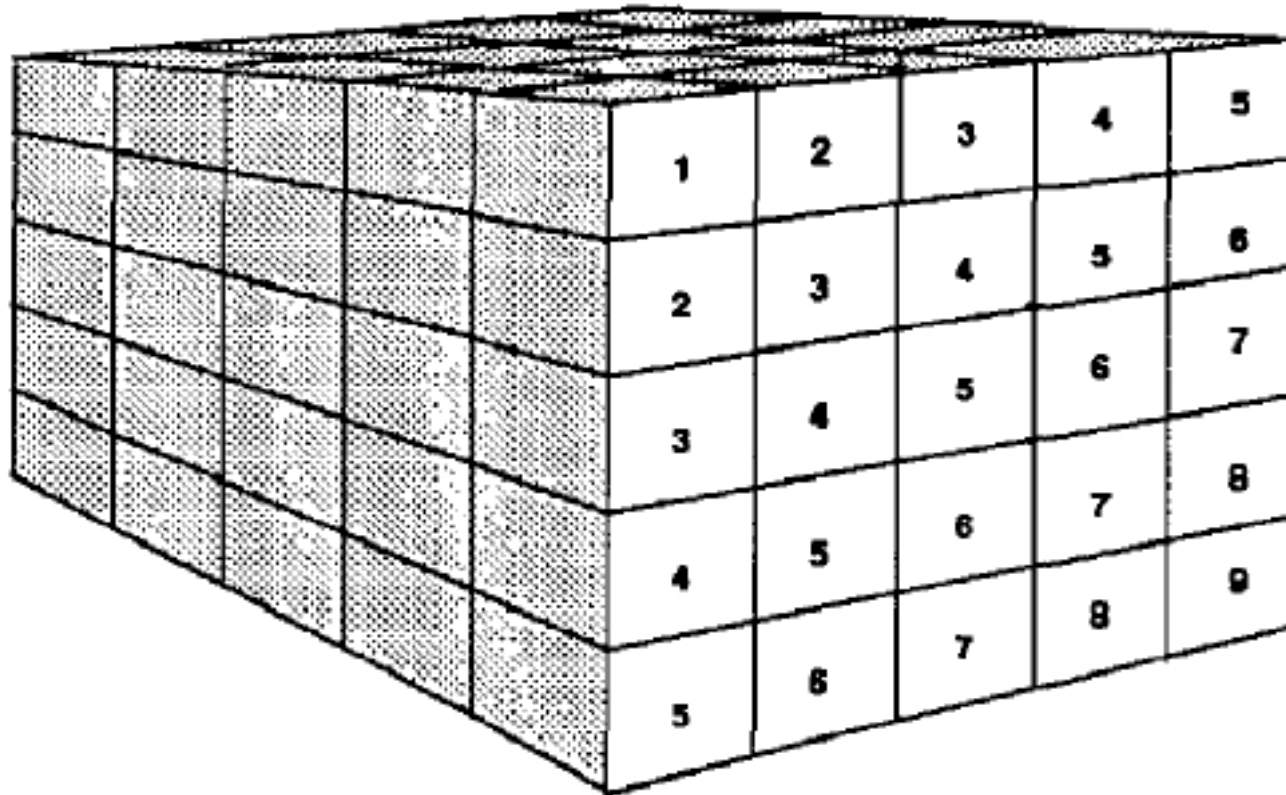
# Intégration

- Calcul de l'intégrale cellule par cellule
- Valeurs aux coins de la projection du pixel sur la cellule (par interpolation)
- Dans une cellule :
  - Intégration pas à pas ( $I$  et  $O$ )
  - Arrêt quand  $O=1$
- Si cellule se projette entièrement dans un pixel :
  - Valeurs moyennes pour la cellule,
  - Multiplié par le rapport aire projetée/aire du pixel

# Optimisations



# Parallélisation

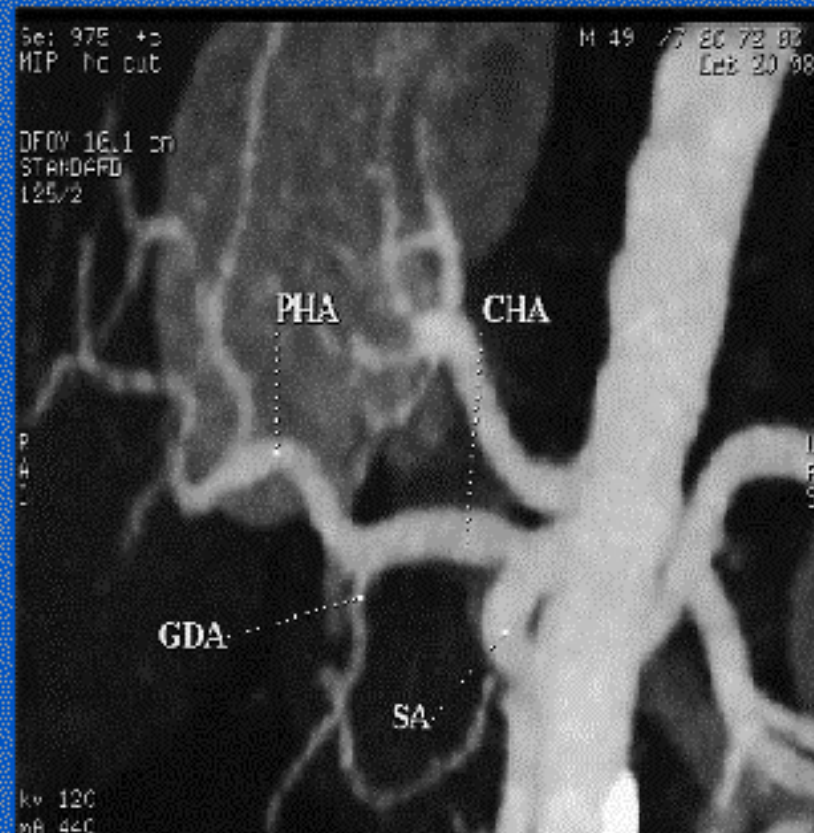


Traitement dans l'ordre. Les cellules de même numéro ne se recouvrent pas, donc elles peuvent être traitées simultanément.

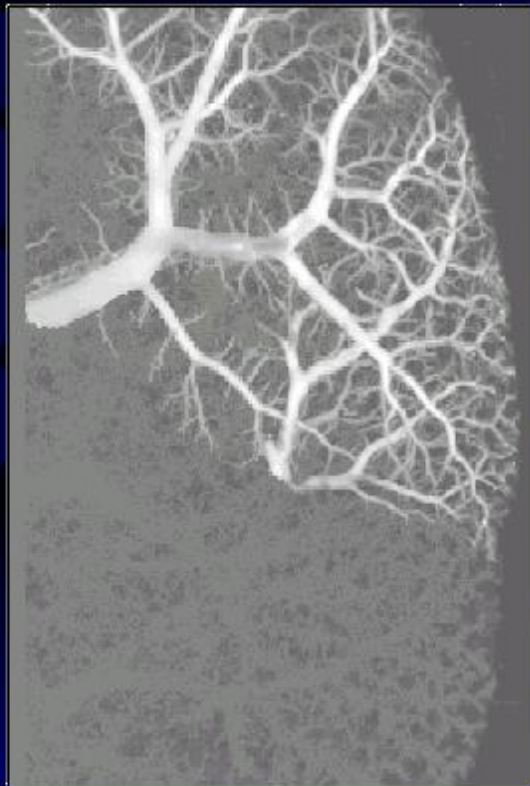
# Cas particulier : MIP

## Maximum Intensity Projection

- Brightness of pixel given by maximum CT number along path through patient
- Useful in CT angiography, where small size of vessels would be averaged out in an average projection



## Coronal Maximum Intensity Projection control 1



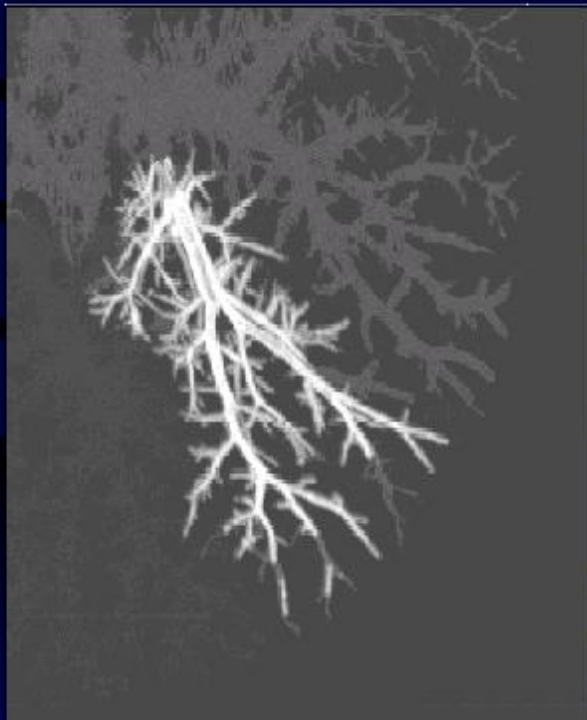
- Size: 73 MB (16-bit); 36.5MB (8-bit)
- Subject: rat liver, bile ducts
- Dimensions: 319×247×487
- Voxel resolution:  $\Delta x = \Delta y = \Delta z = 21\mu\text{m}$
- Contrast agent to opacify arteries
- Root on the left center

## Coronal Maximum Intensity Projection control2



- Size: 80.2 MB (16-bit); 40.1 MB (8-bit)
- Subject: rat liver, bile ducts
- Dimensions: 399×215×491
- Voxel resolution:  $\Delta x = \Delta y = \Delta z = 21 \mu\text{m}$
- Contrast agent to opacify arteries
- Root on the upper-left corner

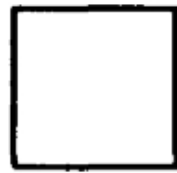
## Coronal Maximum Intensity Projection control3



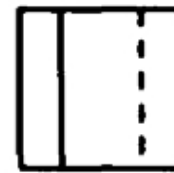
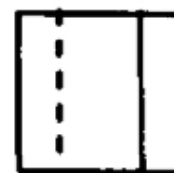
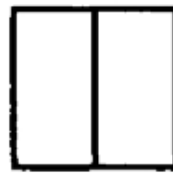
- Size: 114.4 MB (16-bit); 57.2MB (8-bit)
- Subject: rat liver, bile ducts
- Dimensions: 400×400×375
- Voxel resolution:  $\Delta x = \Delta y = \Delta z = 21\mu\text{m}$
- Contrast agent to opacify arteries
- Root in the upper-left quarter

# Par le volume : *coherent projection*

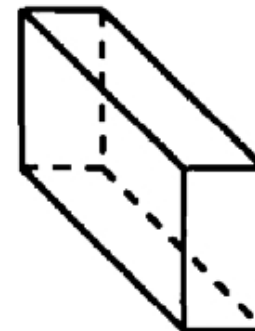
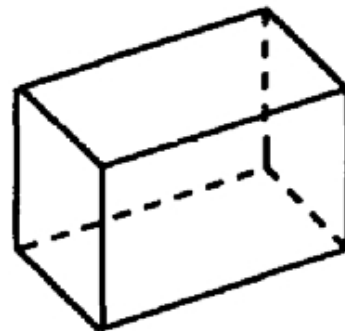
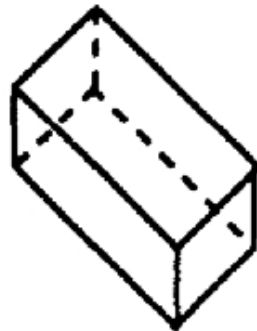
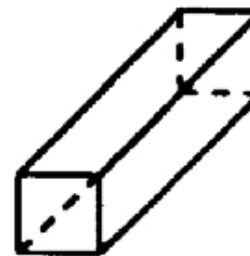
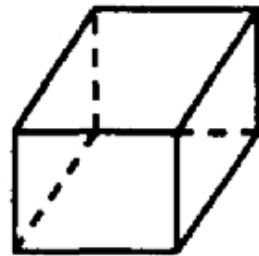
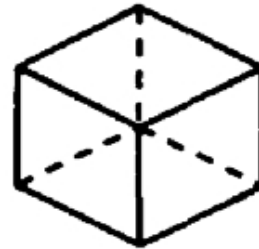
- Projection des cellules :
  - Même projection pour toutes les cellules
  - Rendu par polygones (de 1 à 7 pg par cellule)
  - Calcul des valeurs aux sommets des polygones
  - Interpolation entre les sommets
    - Faite par la librairie graphique
- Projection, *puis* interpolation
- Approximatif, mais rapide



One Face



Two Faces



Three Faces

Figure 1: Cell Projections

# Par le volume : *splatting*

- Extraire la contribution de chaque cellule
  - Chaque cellule contribue à différents pixels

$$I = \int S(x, y, z)K(x - u, y - v, z - w) dudvdw$$

$$I(x, y, z) = \int_{D \text{ volume}} S(D)K(x - D_x, y - D_y, z - D_z)$$

$$I(x, y, z) = \int_{D \text{ volume}} \text{contribution}_D(x, y, z)$$

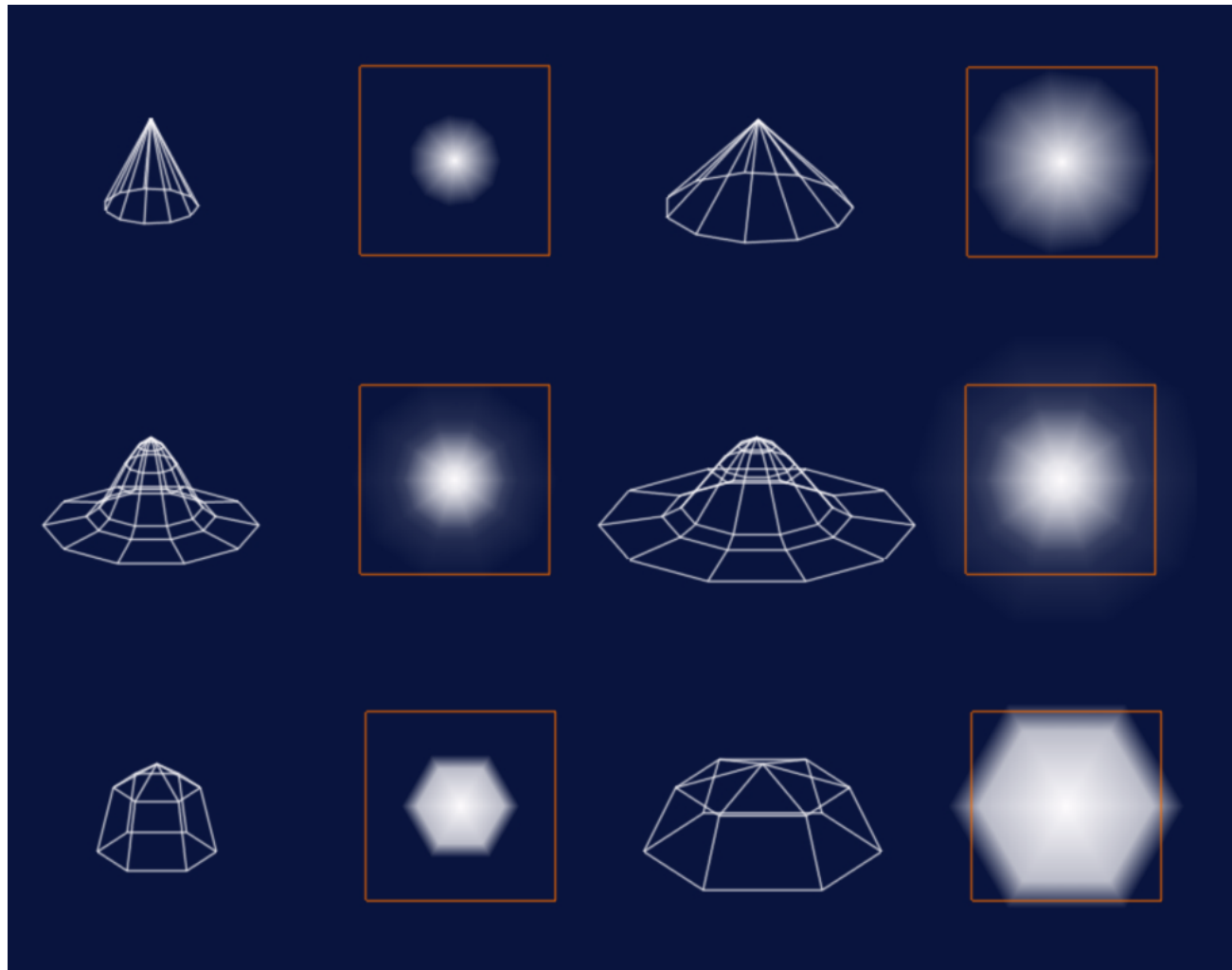
# *footprint* d'une cellule

$$\text{contribution}_D(x, y) = \int_{-D_x}^{+D_x} \int_{-D_y}^{+D_y} S(D) K(x - D_x, y - D_y, w) dw$$

$$\text{contribution}_D(x, y) = S(D) \int_{-D_x}^{+D_x} \int_{-D_y}^{+D_y} K(x - D_x, y - D_y, w) dw$$

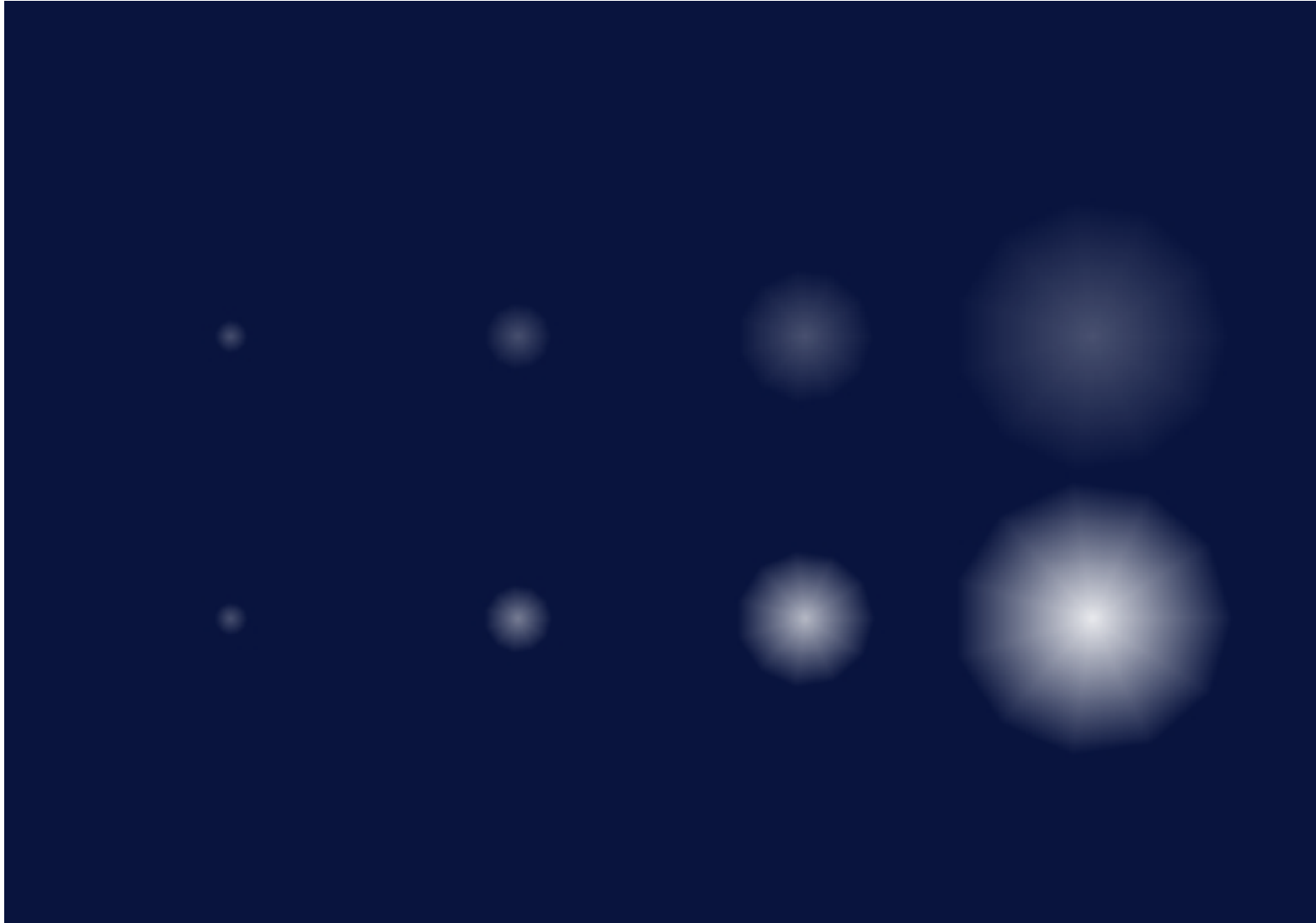
$$fp(x, y) = \int_{-D_x}^{+D_x} \int_{-D_y}^{+D_y} K(x, y, w) dw$$

- Empreinte de la cellule sur chaque pixel
  - $(x, y)$  déplacement par rapport à la projection du centre
- Noyau approximé, pré-échantillonné



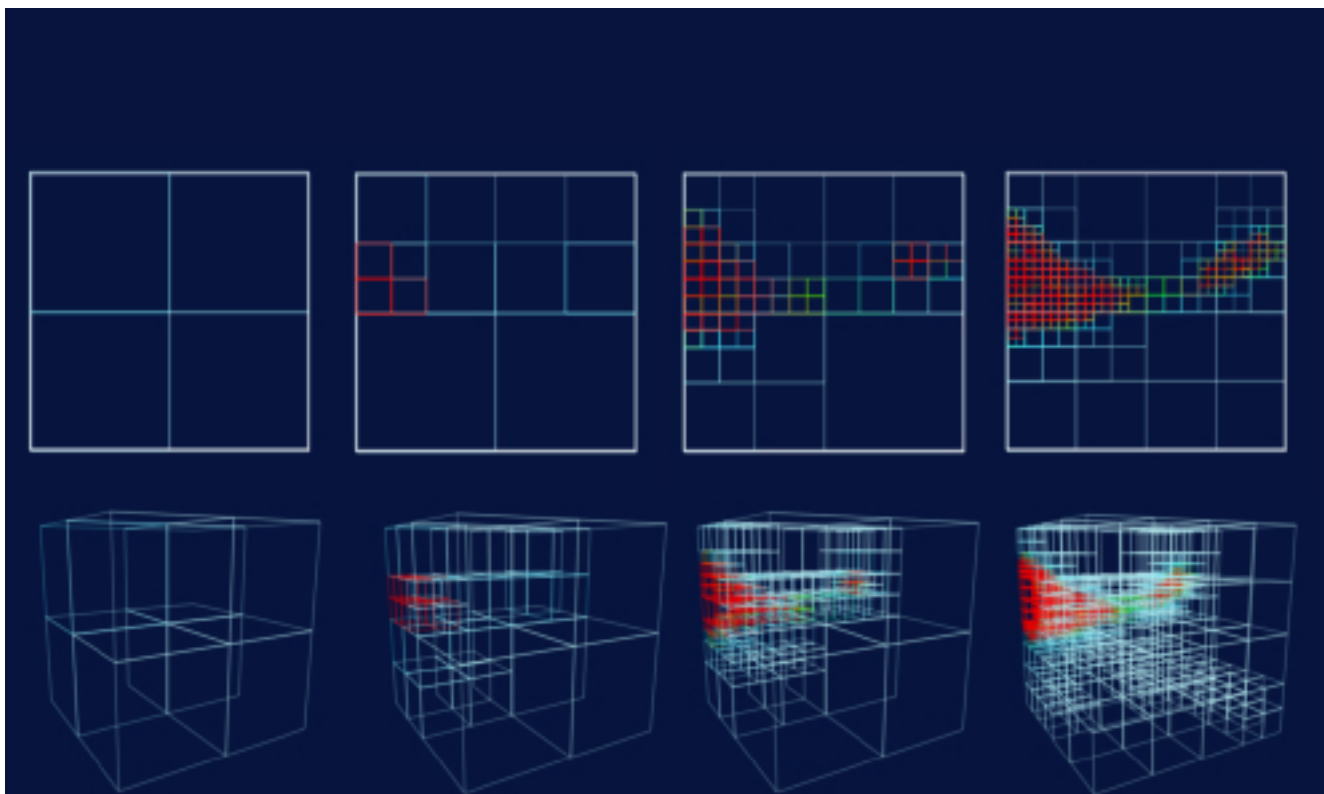
- Noyaux Gaussiens approximatés par des polygones
  - Utilise le hardware
  - Qualité de l'approximation variable

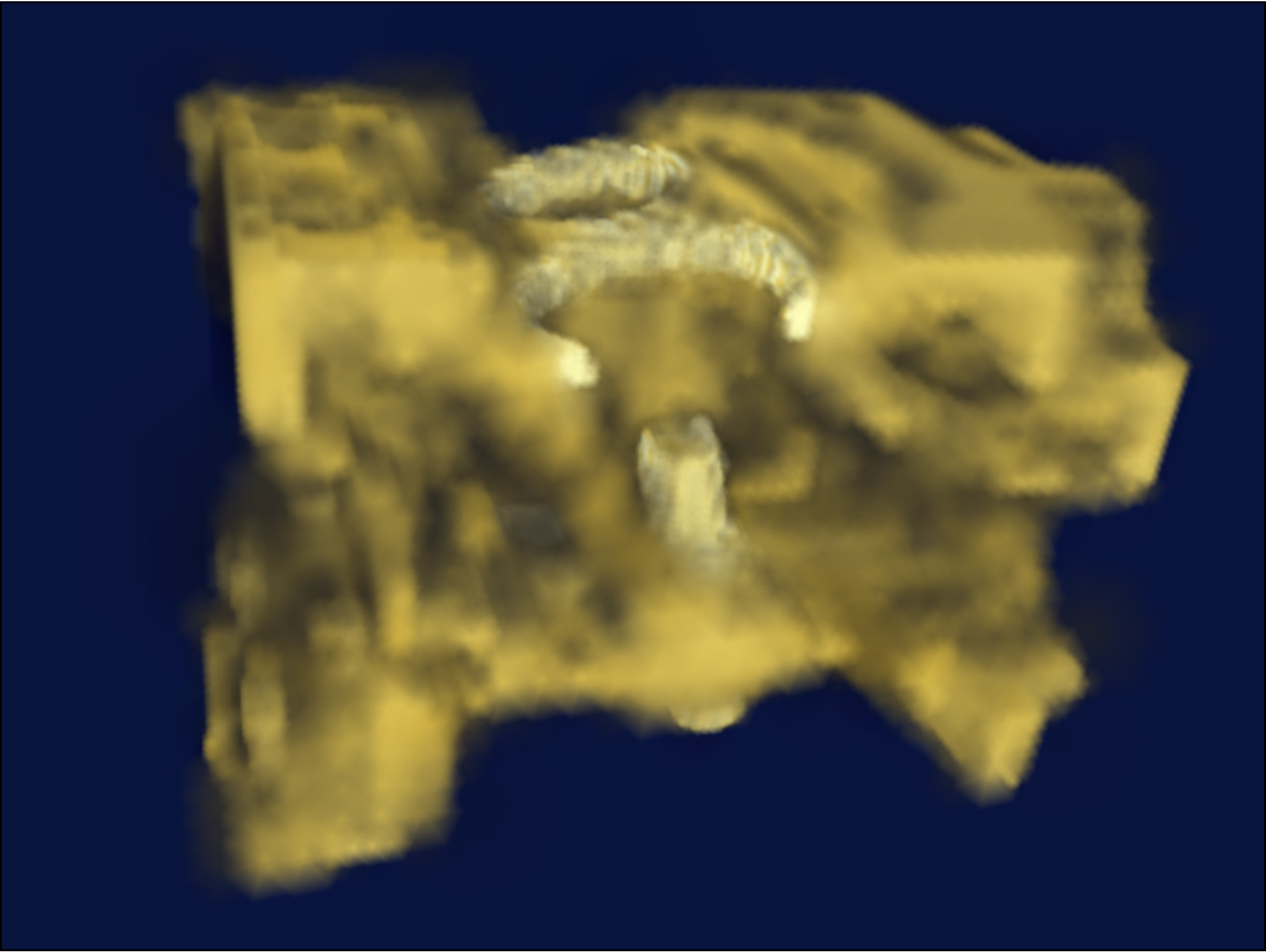
# *Splatting* hiérarchique

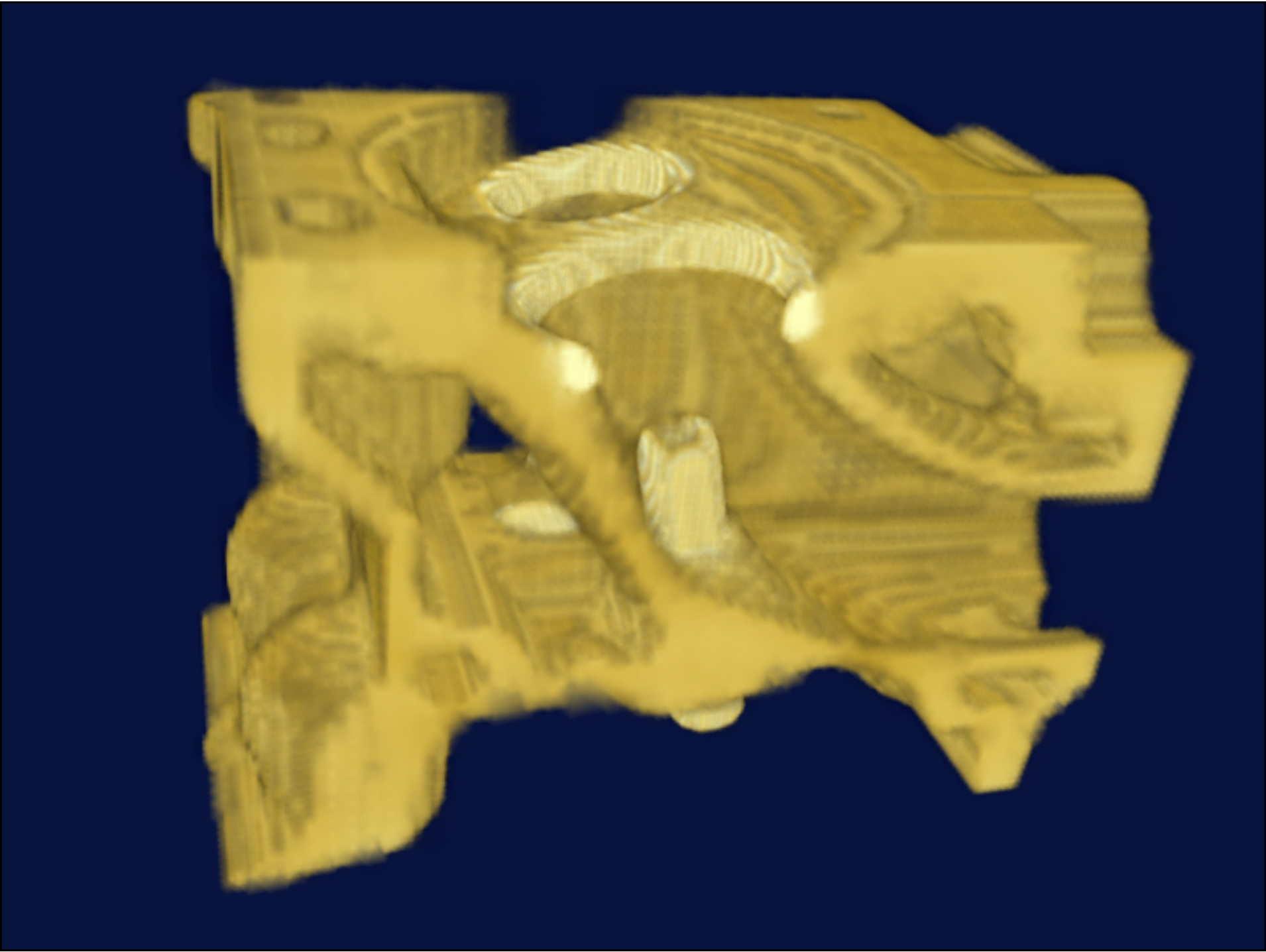


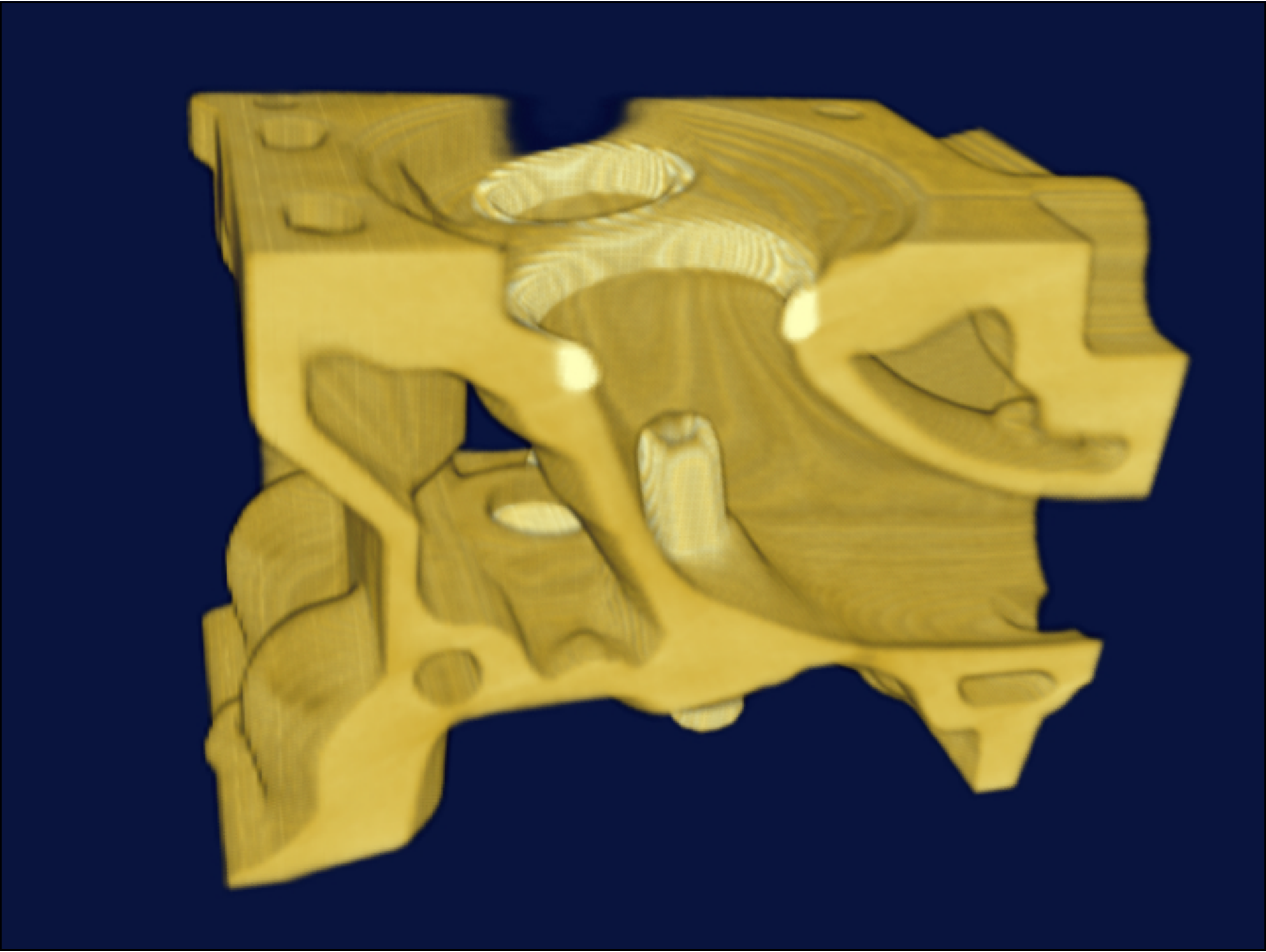
# Décomposition hiérarchique

- Un noyau pour chaque cellule
- Décomposition adaptable selon la précision/la rapidité souhaitée









# Utilisation du hardware

- Textures 3D :
  - Construire une texture 3D à partir des données
  - Utiliser la texture 3D pour l'affichage
    - Plans parallèles semi-transparentes texturés
      - De l'arrière vers l'avant
    - C'est la carte qui fait tout
      - Conversion de coordonnées, extraction de textures...
    - On peut rajouter de l'ombrage

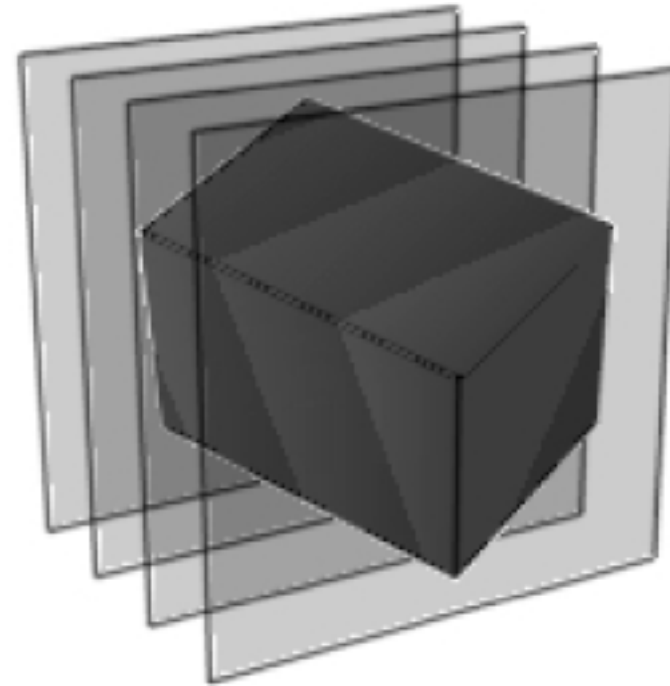
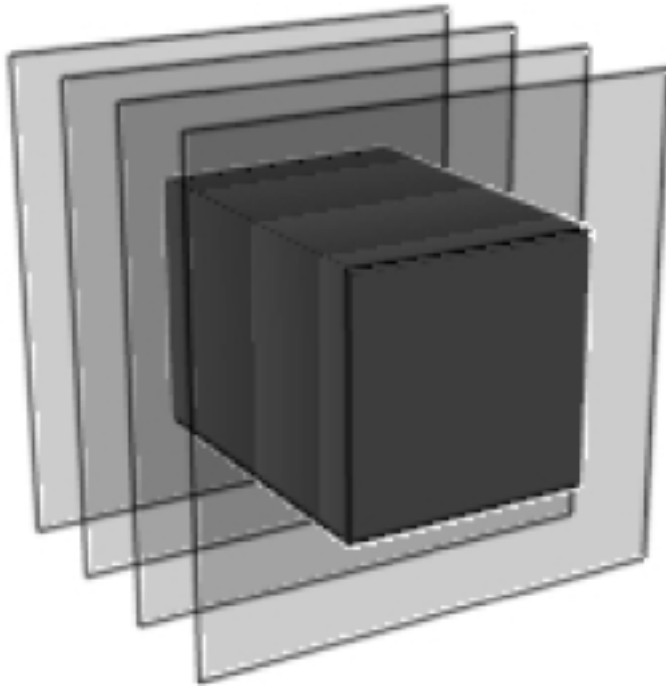
# Construction d'une texture 3D

- La texture contient une intégration des données entre deux plans
  - Dépend de l'intervalle entre deux plans
  - Cet intervalle doit être connu à l'avance
- Pour chaque cellule de données :
  - Calculer opacité et couleur  
 $E$  = couleur ponctuelle (*cf.* fonction de transfert)  
 $O_1$  = opacité ponctuelle (*cf.* fonction de transfert)

$$\alpha = \ln \frac{1}{1 - O_1} \quad C = \frac{1 - e^{-\alpha}}{\alpha} E \quad O = 1 - e^{-\alpha}$$

- Stocker (C,O) dans texture 3D (R,G,B,A)

# Affichage

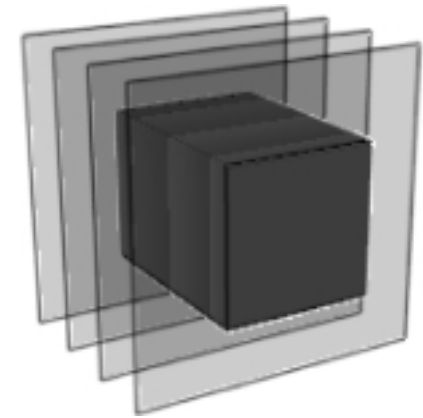


- « Bloc » de textures
- Tranches qui coupent le bloc
- Coordonnées des tranches ?

# Affichage

- La texture tourne, les tranches restent fixe
  - Le bloc des tranches doit pouvoir contenir toutes les rotations du cube de texture
  - Conversion entre coord.  $(x,y,z)$  (fixes) et coordonnées de textures  $(s,t,r)$  (variables)
  - La carte fait l'interpolation

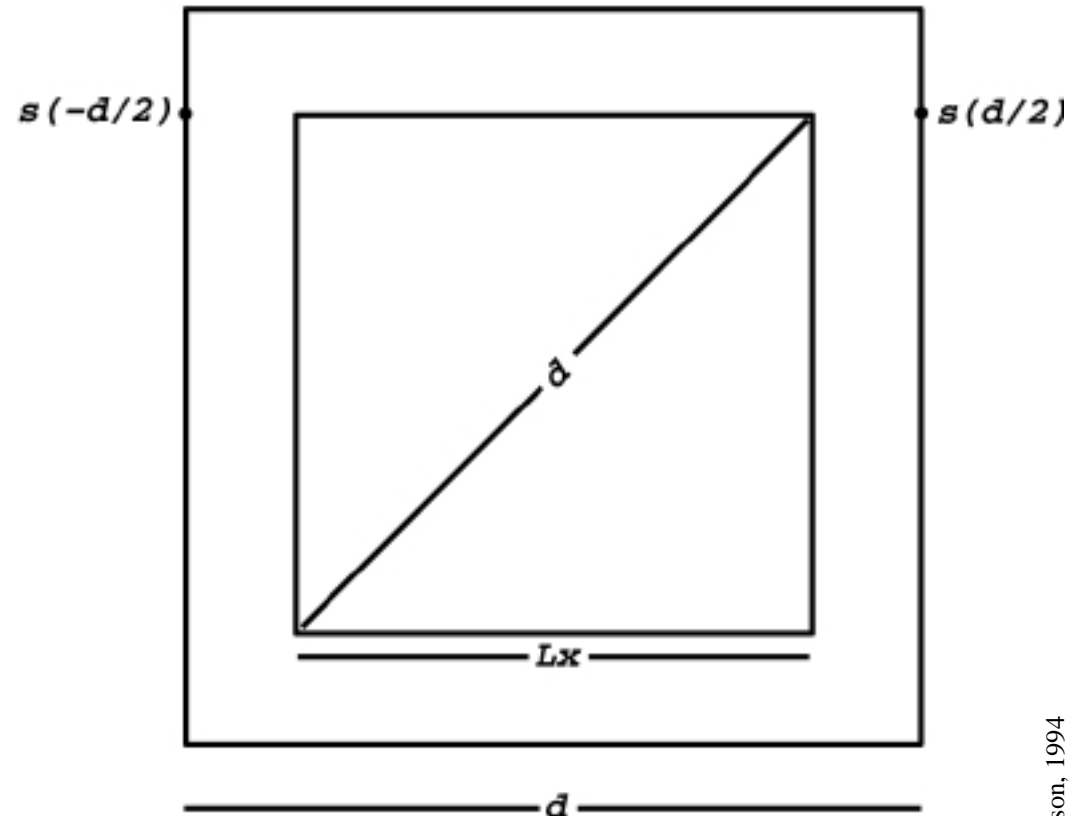
# Cas particulier simple



- Cube ( $n_x$ ,  $n_y$ ,  $n_z$ )
  - $n_x$  nombre échantillons
  - $\Delta x$  intervalle d'éch.
  - $s$  varie de 0 à 1 sur le cube

$$s\left(-\frac{d}{2}\right) = \frac{1}{2} \left(1 - \frac{d}{n_x \Delta x}\right)$$

$$s\left(\frac{d}{2}\right) = \frac{1}{2} \left(1 + \frac{d}{n_x \Delta x}\right)$$



# Cas particulier simple...

- Pb : les textures doivent avoir une taille  $2^n$ 
  - $N_x = 2^k > n_x$
  - $L_x = N_x - x$
  - $s$  varie maintenant de 0 à  $n_x / N_x$

$$s(x) = \frac{x + \frac{1}{2} n_x - x}{N_x - x}$$

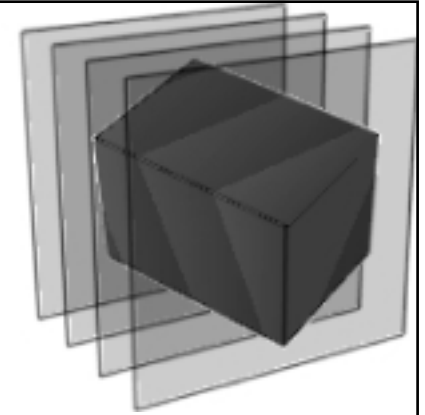
# Cas particulier simple

- D : matrice de changement d'échelle  $d$
- S : matrice de changement d'échelle  $(d/L_x, d/L_y, d/L_z)$
- T : translation de  $(n_x/2N_x, n_y/2N_y, n_z/2N_z)$

$$(s, t, r) = TSD^{-1}(x, y, z)$$

- Texture de taille  $(N_x, N_y, N_z)$

# Cas général



- Point de vue modifié par une rotation  $R$ 
  - On inverse la rotation, et on est ramené au cas précédent :

$$(s, t, r) = TSD^{-1} R^{-1} (x, y, z)$$

- $D$  commute avec  $R$

# Cas général

$$(s, t, r) = TSR^{-1} D^{-1}(x, y, z)$$

- Évaluer aux coins du cube :  $(\pm 1/2d, \pm 1/2d, \pm 1/2d)$
- Égale évaluer  $TSR^{-1}$  sur  $(\pm 1/2, \pm 1/2, \pm 1/2)$
- Transformation faite par la *texture matrix* (OpenGL)
- Rotation, puis échelle, puis translation

# Considérations matérielles

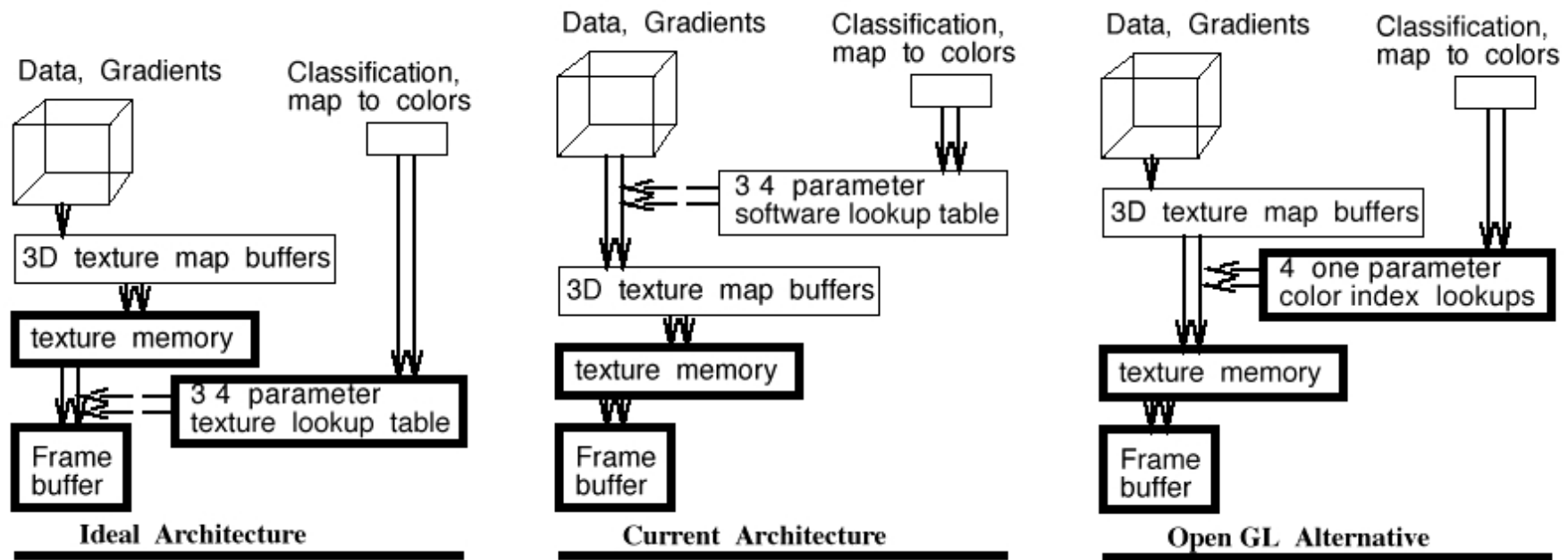
- Nombre optimal de plans :
  - Au moins 1 plan par échantillon
  - Donc  $d/z$ 
    - 110 plans pour  $64^3$
  - Qualité proportionnelle au nombre de plans
  - Temps de rendu aussi
- Interpolation tri-linéaire
  - Remplace plus-proche-voisin (par défaut)
  - Plus lent (50 %), mais meilleure qualité, plus lisse

# Considérations matérielles

- Précision des calculs :
  - 8 bits par canal ou 12 bits ?
  - 2 fois plus rapide, 50 % de coût mémoire en moins
  - Problèmes d'arrondi :
    - Erreurs d'arrondi au maximum de  $1/2 * 1/256$
    - Devient problématique si on a plusieurs centaines de tranches
    - Plus visible avec des données homogènes
- Mémoire :
  - 2 Mo de texture 3D :  $64^3$ , 4 canaux, 12 bits

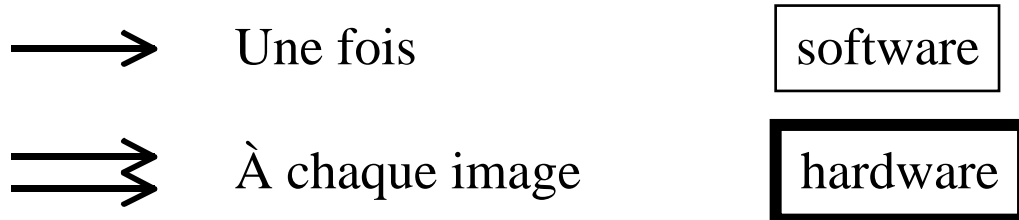
# Ombrage des surfaces

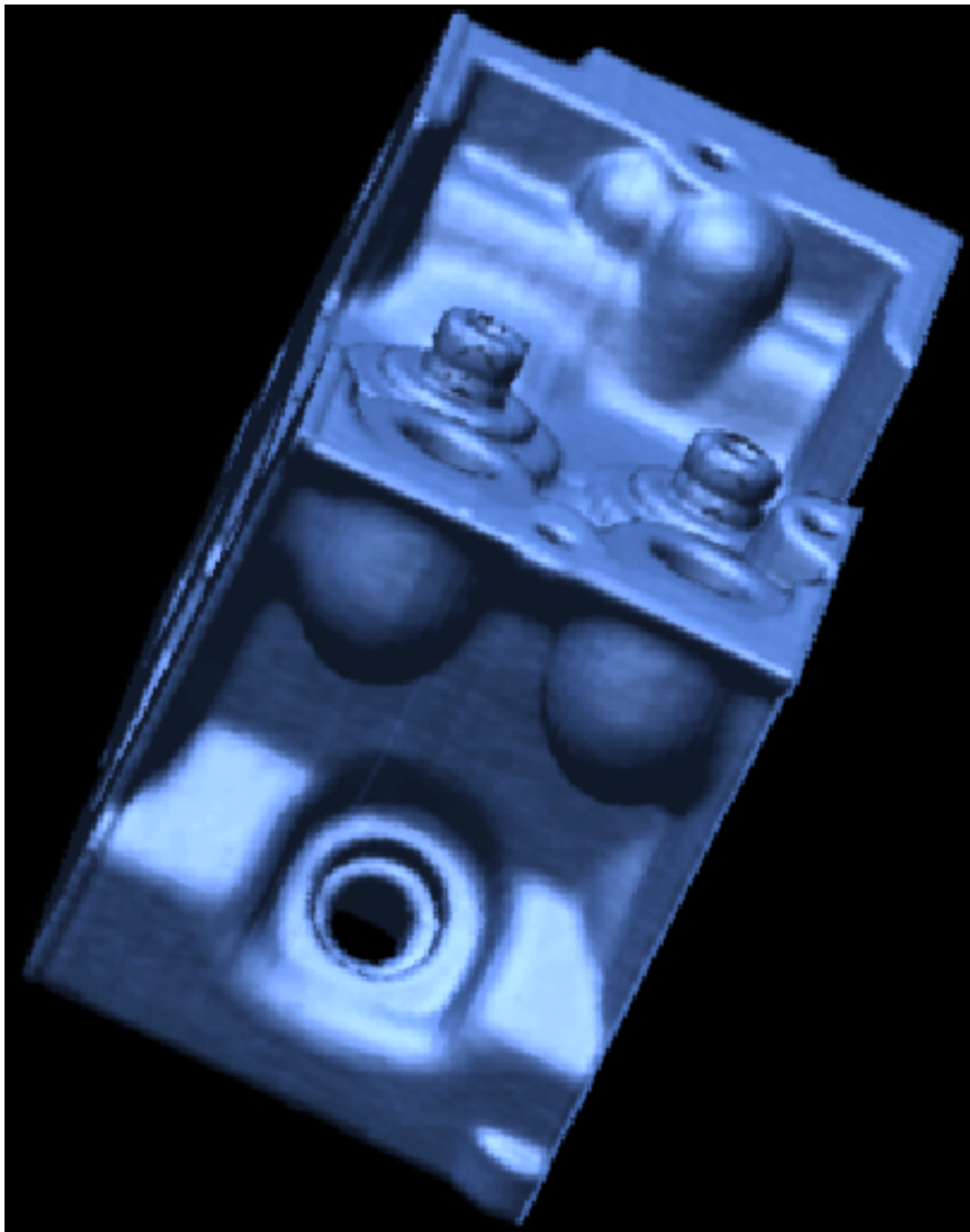
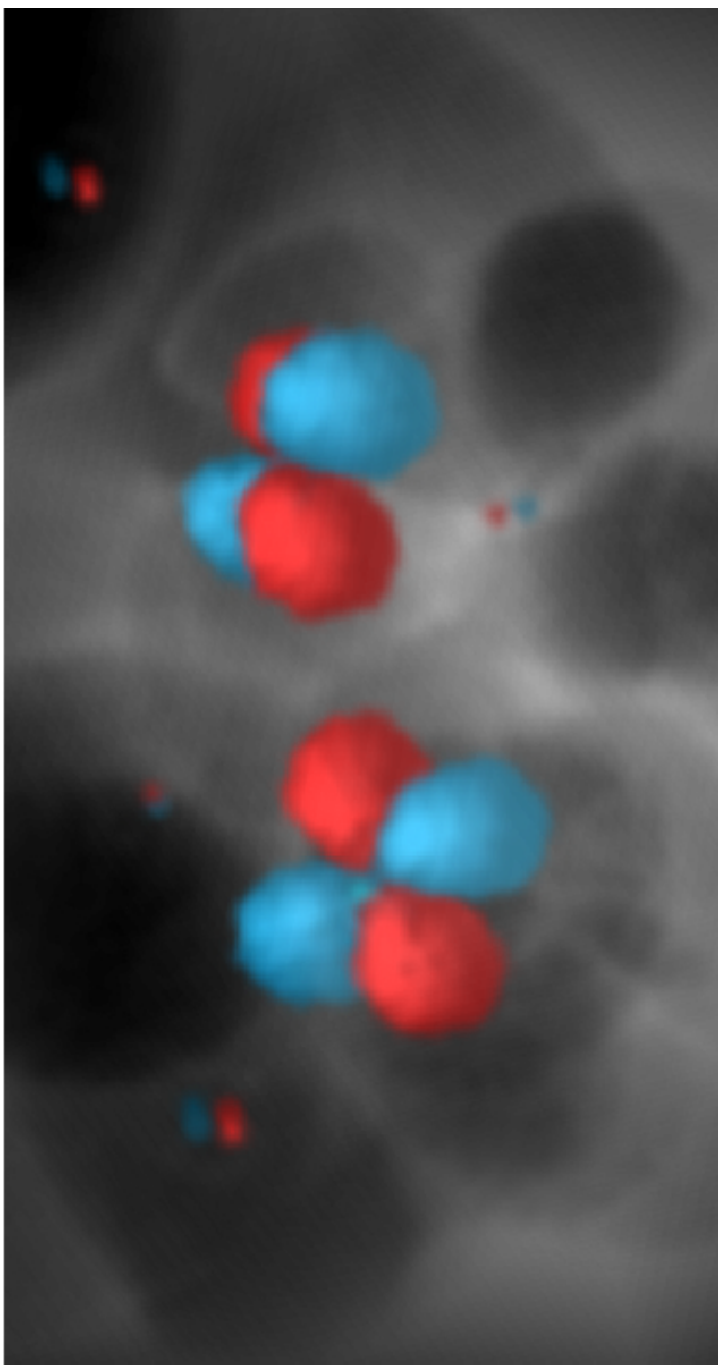
- Identification des cellules proches d'une frontière de matériau
- Calcul du gradient
  - Discrétisé,  $g$  valeurs possible
- Table des couleurs :
  - $m$  matériaux,  $g$  valeurs de gradient
  - $(m+1)g$  entrées
- Ordre des opérations :
  - Interpoler les données ou les couleurs ?



© Van Gelder, 1996

Légende :





# Bibliographie

- **Marching cubes :**
  - Lorensen, W. E. et Cline, H. E., Marching cubes: a high resolution 3D surface construction algorithm, *Computer Graphics*, 21(4) (*Siggraph '87*), p.163-169
- **Rendu à base de pixels :**
  - Upson, C. et Keeler, M., V-Buffer : Visible Volume Rendering, *Computer Graphics*, 22(4) (*Siggraph '88*), p. 59-64
  - Drebin, R.A., Carpenter, L. et Hanrahan, P., Volume Rendering, *Computer Graphics*, 22(4) (*Siggraph '88*), p. 65-74
- **Coherent Projection :**
  - Wilhelms, J. et Van Gelder, A., A Coherent Projection Approach for Direct Volume Rendering, *Computer Graphics*, 25(4) (*Siggraph '91*), p. 275-284
- **Splatting :**
  - Westover, L., Footprint Evaluation for Volume Rendering, *Computer Graphics*, 24(4) (*Siggraph '90*), p. 367-376
  - Laur, D. et Hanrahan, P., Hierarchical Splatting: A Progressive Refinement Algorithm for Volume Rendering, *Computer Graphics*, 25(4) (*Siggraph '91*), p. 285-288
- **Textures 3D :**
  - Wilson, O., Van Gelder, A. et Wilhelms, J., Direct Volume Rendering via 3D Textures, Tech. Report de l'Université de Californie-Santa Cruz (UCSC-CRL-94-19)
  - Van Gelder, A. et Kwansik, K., Direct Volume Rendering with Shading via 3D Textures, *ACM Symposium on Volume Visualisation '96*, p. 23-30.